

Министерство мелиорации и водного хозяйства СССР
СРЕДНЕАЗИАТСКИЙ ОРДЕНА ТРУДОВОГО КРАСНОГО ЗНАМЕНИ
НАУЧНО-ИССЛЕДОВАТЕЛЬСКИЙ ИНСТИТУТ
ИРИГАЦИИ ИМЕНИ В.Д.ЖУРИНА (САНИИРИ)

УДК 626.821.3:627.8.03.7

На правах рукописи

СКРЫЛЬНИКОВ ВИКТОР АЛЕКСЕЕВИЧ

МЕТОДЫ РАСЧЁТА ЭЛЕМЕНТОВ И РЕЖИМОВ ЭКСПЛУАТАЦИИ
МАГИСТРАЛЬНОГО ПИТАНИЯ
ОТКРЫТЫХ ОРОСИТЕЛЬНЫХ СИСТЕМ

Специальности:

06.01.02 - "Мелиорация и орошаемое земледелие"

05.14.09 - "Гидравлика и инженерная гидрология"

Автореферат
диссертации на соискание учёной
степени доктора технических наук

ТАШКЕНТ - 1987

Работа выполнена в Среднеазиатском ордена Трудового Красного Знамени научно-исследовательском институте ирригации имени В.Д.Журина (САНИИРИ)

Официальные оппоненты:

Доктор технических наук, профессор А.А.Рачинский,
доктор технических наук, профессор В.С.Алтутин,
доктор технических наук, профессор Д.В.Штеренлихт

Ведущее предприятие - ГрузНИИГИМ

Защита диссертации состоится "17" сен^{ти}ябр^я 1987 г.
в 10⁰⁰ часов на заседании специализированного совета
Д.099.02.01 по защите диссертаций при Среднеазиатском
научно-исследовательском институте ирригации им. В.Д.Журина.

С диссертацией можно ознакомиться в библиотеке САНИИРИ.

Отзыв на автореферат в двух экземплярах, заверенный
подписями и гербовой печатью, просим присыпать по
адресу: 700187, Ташкент-187, массив Карасу 4, д.11,
Учёному секретарю специализированного совета.

Автореферат разослан "11" авгу^{ст}а 1987 г.

Учёный секретарь
специализированного совета
доктор биологических
наук

К.П.ПАГАНЯС

ОБЩАЯ ХАРАКТЕРИСТИКА РАБОТЫ

Актуальность проблемы. Принятые на XXIII съезде КПСС "Основные направления экономического и социального развития СССР на 1986-1990 годы и на период до 2000 года" в качестве одной из важнейших задач развития агропромышленного комплекса и реализации продовольственной программы выделяют долговременную программу мелиорации земель.

За годы XI пятилетки предусматривается ввести в эксплуатацию 3,3 млн га орошаемых и 3,6 млн га осушанных земель, выполнить культурно-технические работы на площади 8,3 млн га, улучшить техническое состояние действующих оросительных систем на площади 5,6 млн га. Комплексно решать вопросы мелиорации земель и их сельскохозяйственного освоения. Повысить эффективность использования орошаемых и осушанных земель.

В республиках Средней Азии на XI пятилетку намечается увеличить площадь орошаемых земель на 656 тыс. га, в том числе по УзССР - 410 тыс. га, Кирг.ССР - 85 тыс. га, Тадж. ССР - 55 тыс. га, Туркмен.ССР - 106 тыс. га. Площадь орошаемых земель в среднеазиатском регионе согласно долговременной программы развития мелиорации земель до 2000 года должна быть доведена до 9,0 млн га, в том числе по УзССР - до 5,5 млн га, Кирг.ССР - 1,2 млн га, Тадж.ССР - 0,9 млн га, Туркмен.ССР - 1,4 млн га.

Выполнение поставленных задач непосредственно связано с реконструкцией существующих и строительством новых открытых оросительных систем, элементы которых и режим их эксплуатации должны назначаться с учетом нормативного срока службы, наименьших капитальных и эксплуатационных затрат и повышения надежности их работы, т.е. отвечать требованиям совершенных оросительных систем.

По А.Н.Костикову открытая оросительная система включает в себя следующие основные части: источник орошения (река, водохранилище, озеро и т.п.), головное сооружение, магистральный и распределительные каналы, временную оросительную сеть, водопроводящую сеть и различные сооружения на всех каналах.

Комплекс таких частей системы как источник орошения, магистральный канал и распределительная сеть целесообразно именовать элементами магистрального питания.

В зависимости от геоморфологических условий района оро-

сительные системы подразделяются на предгорные оросительные системы, оросительные системы речных долин, оросительные системы водораздельных равнин и плато.

В зависимости от типа водозабора различают бесплотинные и приплотинные оросительные системы.

Режим работы оросительных систем по А.Н.Костякову представляет собой динамику расходов магистрального и распределительных каналов, которая устанавливается в результате сочетания во времени плановых режимов орошения земель. Но для всех элементов магистрального питания необходим комплекс мероприятий и условий работы, т.е. такой режим эксплуатации, который позволит максимально соблюдать режим орошения предусматриваемый планами водопользования.

Срок службы с гарантированным режимом водоподачи приплотинных оросительных систем определяется продолжительностью процессов заселения и занесения, протекающих в водохранилищах.

Отложение наносов в верхнем бьефе на определенном этапе заселения настолько сокращает полезную регулирующую емкость водохранилища, что вызывает нарушение запланированного режима работы водоисточника и ухудшает режим работы оросительной системы вследствие нарушения водообеспеченности орошаемых ее земель.

Занесение верхних бьефов низконапорных гидроузлов ухудшает условия безнаносного водозабора, в каналы поступают донные наносы в количестве превышающем транспортирующую способность потока, что вызывает завал головных участков каналов и уменьшение их пропускной способности.

В процессе заселения и занесения увеличивается длина криевой подпора, изменяются отметки уровней воды в зоне первонаучального подпора, что увеличивает площади затопления и подтопления и ухудшает мелиоративное состояние пребрежной территории.

Осветленный поток, освобожденный от наносов поступая в нижний бьеф гидроузла вызывает размыкание речного русла на большой длине, что приводит к понижению уровня воды вызывающему существенные затруднения в обеспечении планового забора воды головными сооружениями расположенных бесплотинных оросительных систем.

Крупные мелиоративные каналы с динамической устойчивостью,

особенно которые проходят в несвязанных грунтах, при поступлении в них осветленной воды из построенного водохранилища могут подвергнуться существенным деформациям и прежде всего понижению дна вследствие размыва, что значительно ухудшает условия их комендования над отводами, а, следовательно, нарушает водообеспечение орошаемых ими земель. Кроме того, размыкание русла может сопровождаться подрывом различных линейных сооружений (особенно перепадов) расположенных на каналах.

В настоящее время оросительные каналы и каналы коллекторно-дренажной сети проектируются и строятся без достаточно систематизированного подхода к выбору элементов учитывая виды устойчивости их русла, определяющих тот или иной режим эксплуатации. Это приводит к тому, что поток в канале начинает блуждать, вызывая русловые деформации, способные привести к снижению пропускной способности нарушивший плановый режим водоподачи. Для восстановления нормальной работы таких каналов, осуществляемые эксплуатационные мероприятия требуют больших затрат механизмов, материалов и денежных средств на протяжении длительного периода, пока неустойчивый режим эксплуатации не становится более устойчивым. Поэтому при проектировании, реконструкции и эксплуатации систем необходимо производить расчеты оптимальных элементов магистрального питания в достаточно полной связке с режимами эксплуатации, что обеспечит их высокую надежность с наименьшими эксплуатационными затратами. Методы расчета оросительных каналов можно распространить на каналы коллекторной сети, так как режим их эксплуатации во многом подобен режиму эксплуатации оросительных каналов.

В связи с вышеизложенным уточнение существующих и разработка новых методов расчета элементов магистрального питания оросительных систем, а также режимов их эксплуатации, позволяющих создать более совершенные и надежные мелиоративные системы, имеет большое научное и практическое значение.

Цель работы: выявление характерных особенностей и составление классификации режимов эксплуатации оросительных систем, установление взаимосвязи их элементов с режимом эксплуатации и разработка мероприятий и методов расчета, повышающих эффективность эксплуатации и надежность работы открытых оросительных систем.

Задачи исследований предусматривают разработку:

- методики расчета наносоудерживающей способности водохранилищ в зависимости от режимов их эксплуатации и определения срока их службы для равнинной и предгорной зоны;
- рекомендаций по построению кривых подпора и определению размеров зон затопления в верхнем бьефе гидроузла, изменяющихся в процессе засыпания и занесения бьефа;
- способов увеличения срока службы водохранилищ и борьбы с непроизводительными потерями стока воды в процессе их эксплуатации;
- метода расчета уровняенного режима в оросительных каналах и в речном русле нижнего бьефа гидроузлов в зависимости от режима эксплуатации водохранилища;
- метода расчета оптимальных элементов оросительных каналов и каналов коллекторно-дренажной сети в увязке с режимами их эксплуатации;
- методики исследований условий эксплуатации канав в лабораторных условиях.

Методика исследований. Наносоудерживающая способность водохранилищ и режимы эксплуатации оросительных каналов выявлялись по натурным данным, приведенным в опубликованной литературе, а также по материалам, полученным автором в результате выполнявшихся им натурных и специальных лабораторных исследований засыпания бьефов и формирования канав с различными режимами эксплуатации. При обработке собранных данных принималась математическая модель с замкнутой системой уравнений, решение которой позволило получить расчетные зависимости общего вида, уточнявшиеся и конкретизировавшиеся в соответствии с имеющимися натуральными и лабораторными данными.

При измерении скоростного поля в лабораторных условиях применялись микровертушки. Измерение поперечных и продольных профилей в натурных условиях при исследовании водохранилищ и оросительных каналов производилось эколотом "Кубань". При составлении примеров расчетов по предлагаемым методам вычисления производились на ЭВМ ЕС-1035.

Объекты исследований. Натурные исследования наносоудерживающей способности верхнего бьефа и общего размыва в нижнем бьефе плотин производились на Хишрауском, Кайраккумском, Фархадском и др. водохранилищах.

Натурные исследования по изучению режимов эксплуатации канав

лов и условий их устойчивости производились на Кзылординском и Кызылкумском каналах бассейна Сырдарьи, а также на оросительных каналах Ташсека, Пахтаарна и Клычниязбая низовьев Амударьи.

Научная новизна.

- Впервые разработан метод расчета продолжительности засыпания водохранилищ с разделением процесса отложения наносов на две стадии - полное отложение наносов (первая стадия) и возрастающий вынос наносов в нижний бьеф (вторая стадия). Такое разделение процесса засыпания на стадии позволяет существенно упростить расчеты засыпания водохранилищ где возможна только первая стадия или эта стадия преобладает. При этом показано, что все существующие методы расчета засыпания, использующие уравнения показательного и экспоненциального вида, справедливы только для бьефов засыпающихся по закономерностям второй стадии.

- Предложены устройства по удалению наносных отложений со дна водохранилищ по сбросу теплой воды из поверхностного слоя с целью борьбы с испарением, которые, для своей работы используют как статический напор на гидроузле, так и эжекционный напор создавшийся в результате размещения концевой части устройств в вакуумной зоне и максимальных скоростей течения в донном водовыпуске плотины.

- Разработан новый метод расчета кривых подпора в засыпающем верхнем бьефе, позволяющий определять для заданного периода эксплуатации дополнительный подъем уровня воды за пределами первоначального положения кривой подпора и связанные с ним дополнительные площади затопления.

- Разработаны методы расчета продолжительности занесения и построения кривых свободной поверхности подпорных бьефов и водохранилищ горно-предгорной зоны при однородном и неоднородном составе наносов.

- Разработан метод прогнозирования уровняенного режима в оросительных каналах в зависимости от режима эксплуатации водохранилища.

- На основании анализа данных натурных исследований оросительных каналов разработана классификация режимов их эксплуатации, разделяющая их по видам устойчивости потока и русла, что позволяет сделать оценку условий работы каналов, установить причину деформаций

их русла, выявить степень устойчивости элементов каналов рассчитанных по существующим методам.

- По имеющимся данным натурных исследований каналов получены зависимости, позволяющие определять значение коэффициента шероховатости русла исходя из режима эксплуатации канала.

- Разработан принципиально новый метод расчета элементов и параметров мелиоративных каналов в зависимости от режимов их эксплуатации и различных видов грунтов, слагающих ложе каналов.

- Разработан новый метод лабораторных исследований условий эксплуатации мелиоративных каналов, в основу которого положено уравнение идентичности на модели и в натуре параметра устойчивости канала характеризующего режим эксплуатации.

Практическая ценность работы.

Предлагаемые методы расчета заиления и занесения позволяют с достаточно высокой точностью прогнозировать отложение наносов в верхних бьефах для различных вариантов наполнения водохранилища, выбирать параметры верхнего бьефа и плотины исходя из экономически целесообразного срока отложения наносов, намечать этапы работ по восстановлению потерянной, вследствие заиления, емкости водохранилища и повысить эффективность использования последнего, применяя пониженный уровеньный режим эксплуатации.

Метод расчета кривых подпора позволяет определить площади дополнительного затопления прибрежной территории в процессе заиления и занесения, наметить варианты мероприятий по борьбе с этим затоплением и сокращению площадей отчуждения.

Предлагаемые устройства по борьбе с заиением и испарением дают возможность повысить эффективность использования водохранилищ за счет увеличения срока службы и уменьшения непроизводительных потерь воды.

Прогноз изменения уровняного режима оросительных каналов в зависимости от условий работы водохранилищ позволит определить наименшие отметки порогов сооружений расположенных на каналах, разработать мероприятия по обеспечению командных уровней воды в точках отводов и ослабить неблагоприятные ситуации возникающих в существующих каналах при их переключении на пропуск осветленной воды из водохранилища.

При проектировании и реконструкции оросительных каналов прогноз уровняного режима позволит назначать наиболее экономически це-

лесообразные скорости течения и площади поперечных сечений соответствующие условию допустимых деформаций русла и снижения уровня воды.

Предложенные зависимости для определения значения коэффициента шероховатости русел каналов позволяют определять его расчетом исключая рекомендуемый литературой выбор этих значений исходя из внешних признаков каналов.

Метод расчета устойчивых сечений каналов с учетом режима эксплуатации позволяет производить их проектирование или реконструкцию с наибольшей допустимой скоростью динамически устойчивого русла, принимая оптимальные значения параметра формы русла, которые полностью соответствуют устойчивой кинематической структуре потока и заданному режиму эксплуатации.

Практическое применение предлагаемых рекомендаций позволит существенно повысить эффективность эксплуатации открытых оросительных систем, что говорит о достаточно большом народнохозяйственном значении настоящей работы.

Внедрение. Результаты разработок использованы:

- Институтом ЦНИИКИВР для расчета заления водохранилищ, включенных в справочник "Водохранилища СССР" с ежегодным экономическим эффектом 1165 тыс. руб.

- Институтом Узгипроводхоз для расчета заления водохранилища Тендахъо в Эфиопии при выборе экономически целесообразных параметров плотины и водохранилища.

- Таджикским научно-исследовательским отделом энергетики ГЛАВНИИпроекта Минэнерго СССР при расчете занесения емкости для складирования наносов в процессе разработки способа руслово-го гидравлического транспорта и складирования карьерных материалов для строительства Рогунской ГЭС с ежегодным экономическим эффектом 90 тыс. руб.

- Институтом Узгипроводхоз при составлении техпроекта канала Кош-Тепа в Демократической республике Афганистан с экономическим эффектом 200 тыс. руб.

- Институтом Союзгипроводхоз при составлении ТЭО крупного канала.

- Институтом Узгипроводхоз при составлении проектов реконструкции каналов Кегейли и Куванышдарма (ККАССР), а также Левобережного Тюлямюнского (Хорезмская обл. УзССР) с экономическим эффектом 5092 тыс. руб.

- Ташкентским ОПУОС в технорабочем проекте реконструкции канала "Левобережный Каравас" с экономическим эффектом 210 тыс. руб.

Общий ежегодный экономический эффект от внедрения предлагаемых рекомендаций составил более 6,5 млн руб.

Апробация работы. По материалам диссертационной работы опубликовано 43 статьи, 3 методических указания. Работа рассмотрена на Ученом Совете САННИРИ, по отдельным разделам на НИС Главного управления экспертизы Минводхоза УзССР, в институте Узгипроводхоз, на координационном совещании в институте ГрузНИИГИМ (1983 год) по вопросам заложения водохранилищ, на Всесоюзном совещании в г. Черкассы (1983 год) по вопросам переработки берегов, из обединенном заседании кафедр гидравлики и гидросооружений МГМИ.

Состав работы. Работа состоит из введения, 7 глав, выводов и рекомендаций изложенных на 293 стр. машинописного текста, включая 41 рисунок и 43 таблицы. Список литературы включает 198 названий, в том числе 19 зарубежных.

СОДЕРЖАНИЕ РАБОТЫ

I. Основные затруднения возникающие в процессе эксплуатации и при проектировании открытых оросительных систем

Режим работы или режим расходов открытых оросительных систем определяется планом водопользования. Поэтому каждая система имеет вполне определенные элементы и режим эксплуатации, включающий комплекс условий и мероприятий по поддержанию системы, которые должны обеспечить заданный режим работы.

Для различных частей бесплотинных и приплотинных оросительных систем, входящих в состав магистрального питания (участок реки и водохранилища как источник орошения, магистральный и распределительные каналы), должны соблюдаться соответствующие им режимы эксплуатации.

Для бесплотинных и приплотинных оросительных систем рассмотрен комплекс мероприятий и условий работы, которые необходимы для создания надежного и эффективного режима эксплуатации. Указаны затруднения возникающие при проектировании и эксплуатации открытых оросительных систем, приводится перечень вопросов необходимых для исследования.

2. Повышение эффективности эксплуатации ирригационных водохранилищ

Заливание верхних бьефов гидроузлов ухудшает режим работы водохранилищ за счет снижения их регулирующей способности. Нормальная работа ирригационных водохранилищ определяется продолжительностью процесса заложения до того момента, начиная с которого дальнейшее отложение наносов приведет к снижению водообеспеченности орошаемых земель. Для восстановления первоначальной обеспеченности следует осуществлять мероприятия по улучшению работы источника орошения, заключающиеся в реконструкции плотины или строителяства нового водохранилища. Но можно улучшить работу источника орошения также за счет мероприятий увеличивающих эффективность использования водохранилищ.

Повышение эксплуатации водохранилищ может быть достигнуто следующими способами:

- созданием пониженного уровня режима в половодье, увеличивающего проточность водохранилища способствующую пропуску транзитом части наносов в нижний бьеф гидроузла;

- использование стратификационных потоков для сброса части наносов в нижний бьеф;

- применением специальных устройств для удаления наносных отложений со дна водохранилищ.

Определение параметров плотины и водохранилища, а также оценка целесообразности применения пониженного уровня режима эксплуатации, могут быть произведены только при наличии простых и достаточно надежных методов расчета наносоудерживающей способности и сроков заложения водохранилищ, позволяющих для любых заданных уровней и объемов верхнего бьефа выявить интенсивность задержания наносов.

2.1. Расчет заложения водохранилищ

Существует достаточно большое количество различных методов расчета заложения и занесения водохранилищ. Большой вклад в развитие теории осаждения наносов и разработку методов расчета их аккумуляции внесли С.Х.Абельянц, С.Т.Алтуний, И.А.Бузунов, М.А.Великанов, А.Н.Гостунский, В.Н.Гончаров, А.С.Зедгенидзе, А.В.Караушев,

И.И.Леви, В.С.Лапшенков, К.Ш.Латипов, Н.И.Маккавеев, А.И.Мечитов, И.А.Мостков, А.С.Образовский, В.И.Полтавцев, К.И.Россинский, И.С.Румянцев, Р.К.Кромер, Н.Б.Кереселидзе, И.А.Кузьмин, Г.И.Шамов, Х.Н.Шапиро, И.А.Шнаэр, Ф.М.Мухамеджанов и многие другие.

Несмотря на значительный объем выполненных исследований, простые и надежные зависимости, которые отражали бы непосредственно наносоудерживающую способность водохранилищ, пока отсутствуют.

За рубежом некоторые исследователи характеризуют изменение наносоудерживающей способности графической зависимостью от различных критериев. Так Хэзен (США) предложил критерий W/W_{cr} , представляющий отношение водоема к среднемноголетнему годовому стоку воды. Брюнс и Аллен (США), Брюнс, Борланд (США) предложили критерий отношения емкости водоема к площади водосброса W/S_e .

Позже Брюнс использовал критерий Хэзена. Однако указанный критерий не использует характеристики наносов и их содержание в потоке и поэтому не может достаточно надежно отражать процесс заилиения.

Разработанный нами метод расчета заилиения основан на пока-занном на рис. I графике, характеризующем изменение степени освещения \mathcal{E} в зависимости от отношения объема русла W_p , в котором поток транспортирует расчетное количество наносов, к начальному объему водохранилища W_H . Этот график построен по большому объему натурных и лабораторных данных.

Согласно рис. I всю область изменения \mathcal{E} можно разделить на две зоны.

В первой зоне, соответствующей значениям $W_p/W_H < 0,12$ (зона А), степень освещения постоянна и практически равна $\mathcal{E} = 1,0$. Во второй зоне (Б), где $W_p/W_H > 0,12$, степень освещения, по мере увеличения W_p/W_H от 0,12 до 1,0, уменьшается от 1 до 0. Первой зоне соответствует первая стадия заилиения, охватывающая период времени, в течение которого происходит практически полное осаждение наносов в бьефе. Второй же зоне соответствует вторая стадия заилиения, в течение которой по мере заилиения верхнего бьефа степень освещения уменьшается за счет увеличивающегося выноса взвешенных наносов в нижний бьеф. Показателем или критерием перехода от первой стадии ко второй отношение $W_p/W_H = 0,12$ (рис. I). Согласно этому критерию, если начальная

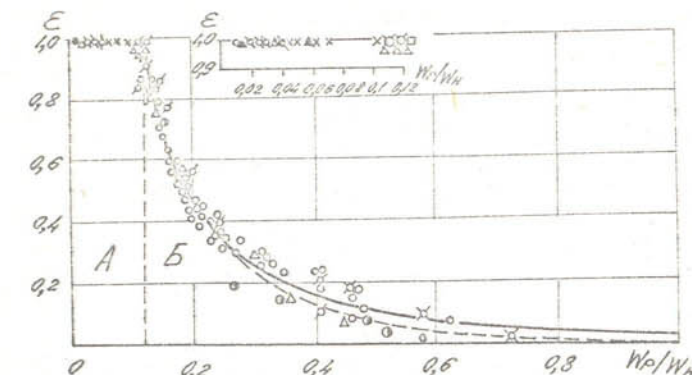


Рис. I. График зависимости степени освещения потока E в верхних бьефах гидроузлов от отношения W_p/W_H
 Д - Фархадский бьеф 1949 г.; \circ - то же 1951 г.;
 \square - то же 1952 г.; \times - Хибрауский бьеф 1958 г.;
 \circ - лабораторные данные (прямолинейный лоток);
 \bullet - Кайраккумское водохранилище; Δ - Ташкелинское водохранилище (с 1959 по 1961 г.);
 \square - Таджинское (1950-1959 гг.); \square - Бозсуйский бьеф;
 \times - лабораторный бьеф № 1; \diamond - Остин новое (США);
 — по формуле (2); --- по формуле (3).
 I - I зона, II - II зона

емкость водохранилища удовлетворяет условию:

$$W_p \leq \frac{W_H}{0,12} = 8,33 W_p , \quad (1)$$

то процесс его заилиения ограничивается только второй стадией. Если же $W_p > 8,33 W_H$, то в процессе заилиения будет наблюдаться сначала первая, а затем вторая стадия. Это обстоятельство должно быть соответствующим образом отражено методикой расчета.

Изменение E , соответствующее второй стадии заилиения изображается показанной на рис. I кривой, которая может быть описана уравнением

$$E = 0,041 \left(\frac{W_p}{W_H} \right)^{-1,5} \quad (2)$$

Параметры уравнения (2) получены обработкой натурных и экспери-

ментальных данных методами математической статистики. При этом, согласно (2) $\varepsilon = 0,04$ при $W_p/W_H = 1,0$, тогда как теоретически должно быть $\varepsilon = 0$. Для практических расчетов это расхождение вполне допустимо. Более точно кривую $\varepsilon = f(W_p/W_H)$ на рис. I можно описать уравнением

$$\varepsilon = 0,041 \left[\left(\frac{W_p}{W_H} \right)^{-1,5} - \left(\frac{W_p}{W_H} \right) \right], \quad (3)$$

которое дает $\varepsilon = 0$ при $W_p/W_H = 1$. Однако использование (3) усложняет вычисления, мало изменения получаемые результаты. Используя понятие степени освещения ε можно написать уравнение баланса наносов в следующем виде

$$dW_3 = \varepsilon \rho_i dt, \quad (4)$$

где dW_3 - приращение объема отложений за интервал времени dt , ρ_i - расход наносов поступающих в водохранилище (включая и продукты размыва берегов волнами).

для первой стадии, интегрируя (4) при $\varepsilon = 1,0$, имеем

$$W_3 = \int \rho_i dt = t_1 (G_o + G_a), \quad (5)$$

откуда $t_1 = W_3' / (G_o + G_a)$,

здесь G_o - среднемноголетний годовой сток наносов,

G_a - среднемноголетний годовой объем переработки берегов. Объем залывания к концу первой стадии $W_3' = W_H - W_H' = W_H - 8,33 W_p$. Интегрируя (4) при изменении степени освещения согласно (2) и подставляя $W_H = W_H' - W_3''$, получим

$$\int dW_3 / (W_H' - W_3'')^{1,5} + C = \frac{0,041}{W_p^{1,5}} \int \rho_i dt$$

Откуда время залывания второй стадии будет

$$t_2 = \frac{48,8 W_p^{1,5}}{G_o + G_a} \left(\frac{1}{\sqrt{W_H' - W_3''}} - \frac{1}{\sqrt{W_H'}} \right) \quad (6)$$

а объем залывания за время

$$W_3 = W_H' - t_2 G_a - 1 / \left(\frac{t_2 G_o}{48,8 W_p^{1,5}} + \frac{1}{\sqrt{W_H' - t_2 G_a}} \right)^2 \quad (7)$$

где W_3'' - объем залывания второй стадии.

В случае малых ($J \leq 0,0001$) уклонов русла выше водохранили-

ща в расчетные формулы следует ввести дополнительный объем W_2 , выражющий так называемую динамическую емкость водохранилища, т.е. объем воды между кривой подпора и уровнем воды в бытовом русле, который может существенно изменяться в процессе залывания вследствие удлинения кривой подпора вверх по течению.

Интегрирование (4) при изменении степени освещения по (3), приводит к уравнению

$$\int_{\sigma_0}^{\sigma} \frac{d\sigma}{\sigma^{0,5} - \sigma^3} = \frac{0,041}{W_p^{1,5}} \int_0^t \rho_i dt, \quad (8)$$

$$\text{где } \sigma = \frac{W_p}{W_H' - W_3''}.$$

Для определения значений интеграла левой части (8) на основании его численного интегрирования составлены таблица и график. Поскольку результаты расчета по предлагаемым формулам совпадают друг с другом, то при практических расчетах рекомендуются формулы (6) и (7) как более удобные для вычислений. Если объем $W_H' = 8,33 W_p$ не превышает 5-6 % от начального объема W_H , то расчет залывания для второй стадии можно не делать, определяя продолжительность залывания верхнего бьефа по формуле

$$T = \frac{W_H}{G_o + G_a} \quad (9)$$

В соответствии с выявленными закономерностями можно выделить следующие три схемы процесса отложения наносов в верхних бьефах гидроузлов, отличающиеся друг от друга интенсивностью залывания.

К первой схеме можно отнести водохранилища, имеющие $W_H \leq 8,33 W_p$, в которых с начала эксплуатации наблюдается возрастающий вынос наносов в нижний бьеф по мере залывания верхнего бьефа (вторая стадия залывания).

К второй схеме относятся водохранилища, имеющие $W_H > 8,33 W_p$, в которых наблюдается период полного отложения наносов (первая стадия залывания) и период возрастающего выноса наносов в нижний бьеф (вторая стадия залывания).

К третьей схеме относятся водохранилища имеющие $W_H \gg 8,33 W_p$, в результате чего период полного отложения наносов (т.е. первой стадии залывания) составляет основную часть продолжительности залывания.

Период возрастающего выноса наносов (т.е. второй стадии залывания) по сравнению с общим временем залывания оказывается настолько мал, что им можно пренебречь.

На рис.2 показан построенный по лабораторным данным график изменения степени освещения \mathcal{E} от отношения W_3/W_0 (W_3 - объем засыпки; W_0 - предельно засыпаемый объем). Согласно этому графику в первой зоне $\mathcal{E} = I = \text{const.}$, а во второй (наклонная линия) - степень освещения изменяется по выражению общего вида:

$$\mathcal{E} = \mathcal{E}'(1 - W_3/W_0) \quad (10)$$

Полученная зависимость (10) позволяет установить условия применения некоторых существующих методов расчета засыпки водохранилищ.

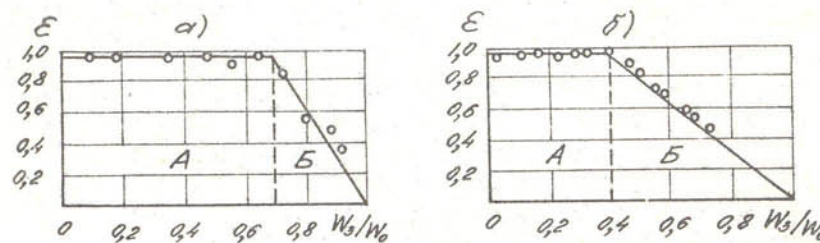


Рис.2. Графики зависимости степени освещения \mathcal{E} от относительной величины засыпки W_3/W_0 лабораторных подпесчанных бьефов:
а - бьеф № 1; б - бьеф № 2;
А - первая зона; Б - вторая зона

Интегрируя (4), при изменении \mathcal{E} согласно (10), приходим к формуле Лапшенкова В.С.

$$W_3 = W_0(1 - e^{-t/\mathcal{E}})$$

Так как формула (10) справедлива только для второй стадии, то метод Лапшенкова В.С. и все методы основанные на формулках показательного и экспоненциального вида справедливы только для расчета засыпки второй стадии.

Ряд исследователей для определения наносоудерживающей способности водохранилищ используют рекомендации Брюне (США), который исходя из указанного ранее критерия Хозена (США), обработав данные натурных измерений по 44 прудовым водоемам (*ponded reservoirs*), построил графики показанные на рис.3.

На рис. 3 нанесены также данные натурных измерений наносоудер-

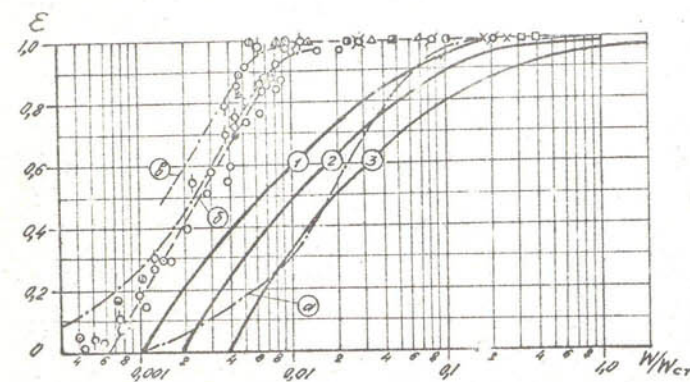


Рис.3. Графики зависимости степени освещения \mathcal{E} от отношения объема водохранилища W к среднегодовому стоку воды W_{cr} . Кривые Брюне: 1 - крупные наносы; 2 - средние наносы; 3 - мелкие наносы.

Натурные данные.

Бьеф:

- - Учкургенской ГЭС (р. Нарын);
- - Хишрабуской ГЭС (начало, 1958, 1960 гг.);
- ▲ - Головной ГЭС на р. Вахш.

Водохранилище:

- - Ташкепринское на р. Мургаб (1940-1966 гг.);
- △ - Султанджентское на р. Мургаб;
- - Тедженское на р. Теджен (1950-1966 гг.);
- - Фархадское на р. Сырдарья (1947-1955 гг.);
- × - Кайраккумское на р. Сырдарья (1956-1985 гг.);
- - Ташкентское на р. Ангрен (1956-1962 гг.);
- - Йолотинское на р. Мургаб;
- × - Хорогское на р. Теджен;
- - Гуматское (ГрузССР);
- ▲ - Остин старое (США);
- △ - Остин новое (США);
- - Бойсен (США);
- △ - Леджанурское (ГрузССР).

а, б, в - расчет по формуле А.В.Караушева

$$\mathcal{E} = I - (I - \tilde{W}) \exp(-\psi \frac{W}{I - \tilde{W}}) \text{ при значениях } \psi = 35, 300 \text{ и } 500$$

зывающей способности отечественных и зарубежных водохранилищ, которые существенно отличаются от кривых Брюне. Результаты рас-

четов по формуле А.В.Караушева, если принять в ней значение параметра характерное для прудов, практически совпадают с кривыми Брюне. Если же при расчетах принять значение параметра характерное для водохранилищ, то результаты расчета будут совпадать с данными натурных исследований и нашими рекомендациями. Поэтому кривые Брюне не следует применять для расчета засыпания водохранилищ.

Сопоставление результатов расчетов продолжительности засыпания водохранилищ по рекомендуемому нами методу с данными о засыпании 16 натурных и 3-х лабораторных бьефов показали хорошее соответствие расчетных и фактических данных.

На рис. 4, 5, 6 произведено сравнение расчетных и натуральных данных о засыпании некоторых существующих водохранилищ. Как следует из этих рисунков результаты расчета по рекомендуемому нами методу, учитывающему две стадии засыпания, хорошо соответствуют фактическому ходу отложения наносов в существующих водохранилищах.

2.2. Расчет засыпания верхних бьефов низконапорных гидроузлов

Под процессом засыпания подразумевается отложение только донных наносов, когда взвешенные наносы полностью выносятся в нижний бьеф.

В основу метода расчета засыпания положена параболическая формула интегральной кривой фракционного состава влекомых наносов или донных отложений, впервые предложенная И.А.Бузуновым

$$\rho = \left[1 - \left(\frac{d_i}{D} \right)^{\frac{1}{m}} \right] 100, \quad (II)$$

где ρ - процент содержания фракций $d > d_i \cdot \varphi$. Входящий в формулу (II) показатель степени $m = \frac{D}{d_{cp}}$ - I теоретически обоснован А.Г.Пулатовым.

Поскольку степень осветления бьефа выражает отношение числа осевших фракций к общему их количеству, то согласно (II)

$$\varepsilon = \frac{\rho_{oc}}{100} = 1 - \left(\frac{d_{oc}}{D} \right)^{\frac{1}{m}} \quad (I2)$$

Заменяя диаметры наносов через значения соответствующих им неразмываемых скоростей, и выражая последние через расход и элементы бьефа или русла получим

$$\varepsilon = 1 - \left(\frac{V_p}{V_c} \right)^{\frac{3,5}{m}} = 1 - \left(\frac{V_p}{V_c} \right)^{\eta}, \quad (I3)$$

где V_p - объем русла, в котором поток транспортирует все донные наносы ($d \leq D$).

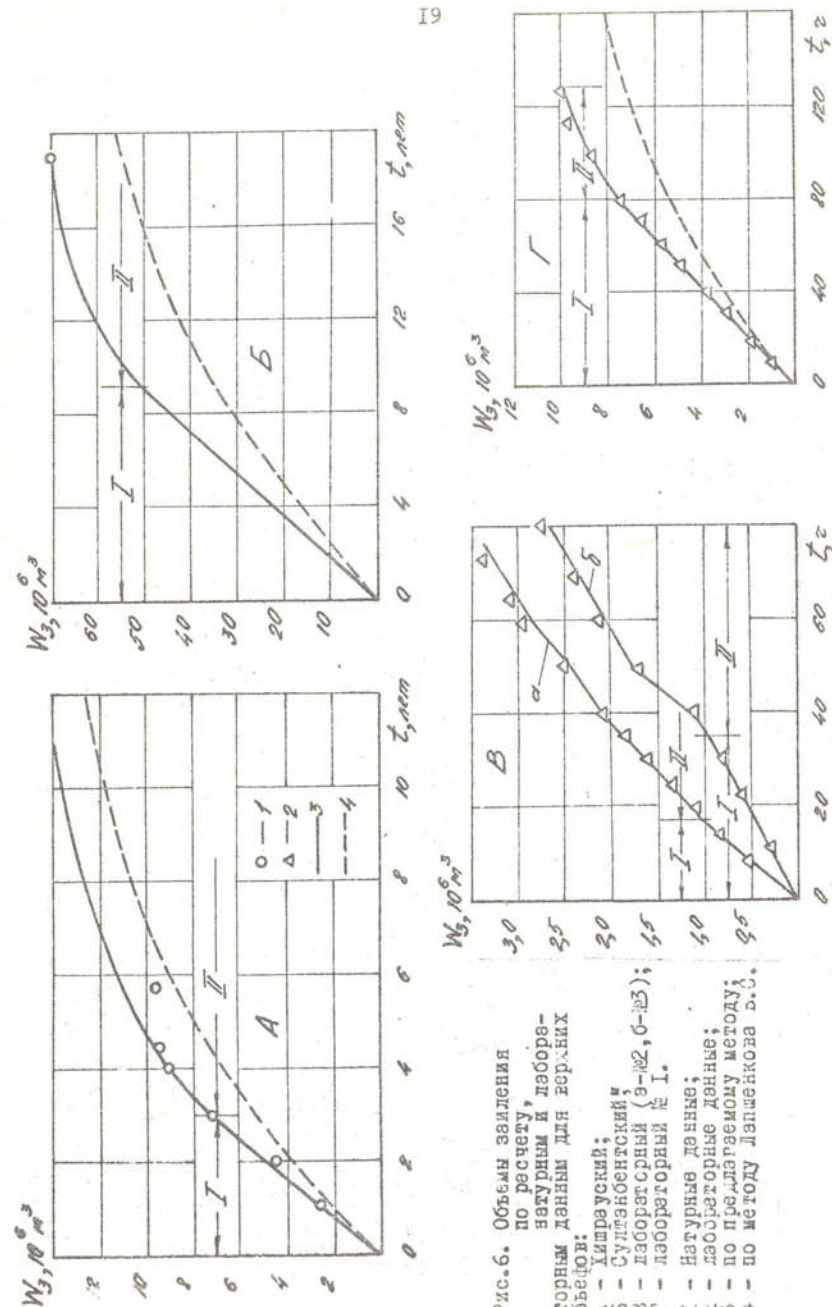


Рис. 6. Объемы засыпания по расчету, по натуральным и лабораторным данным для верхних бьефов:

- 1 - Султаньевский;
- 2 - лабораторный № I.
- 3 - натуральные;
- 4 - лабораторные данные;
- 5 - по предлагаемому методу;
- 6 - по методу Лашенкова Д.С.

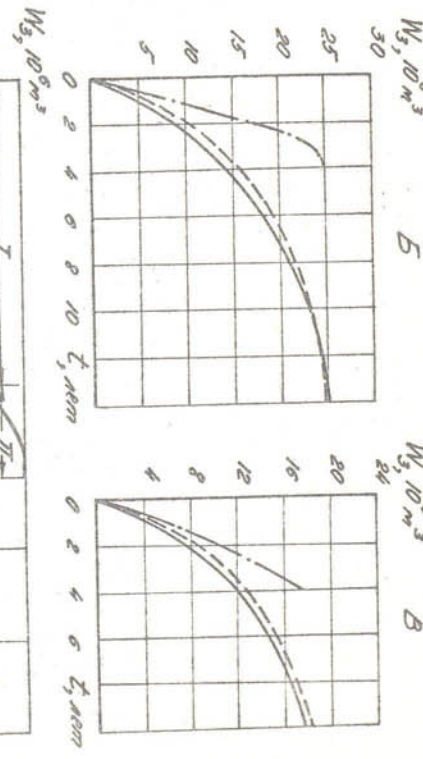
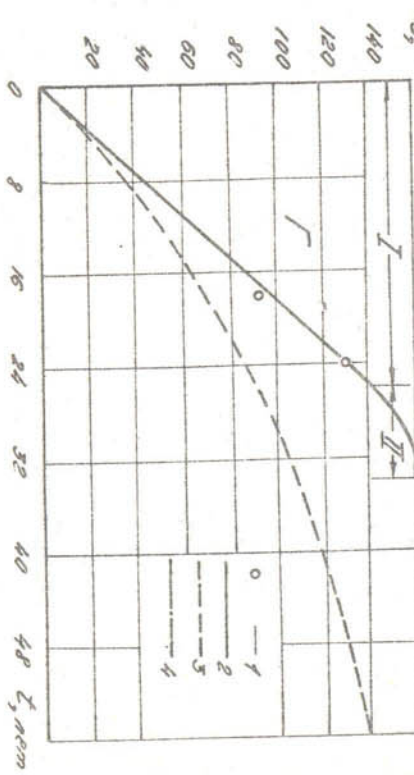


Рис. 4. Объемы залежей по расчету и натурным данным для верхних бьефов:

А - Баскаковский;
 Б - Укураленский;
 В - Султанбентский (вторая стадия);
 Г - Йышкельянский.
 1 - натурные данные;
 2 - по расчету предлагаемым методом;
 3 - по методу Лаптевкова В.С.;
 4 - по методу Шеера И.А.

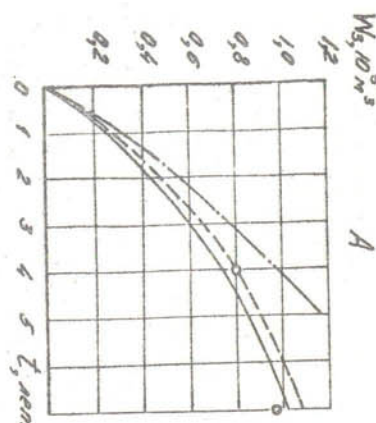


Рис.5. Объемы залегания по расчету и натурным данным для пачки глин:

А - Г Теджениский;

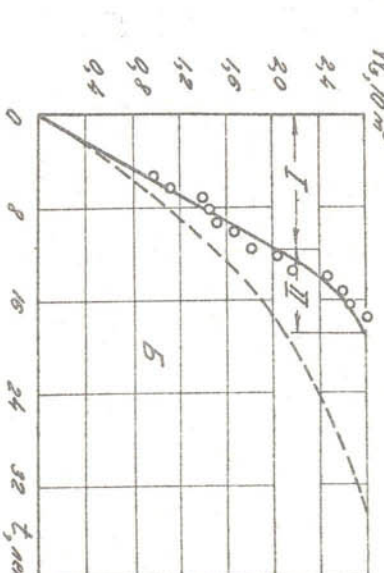
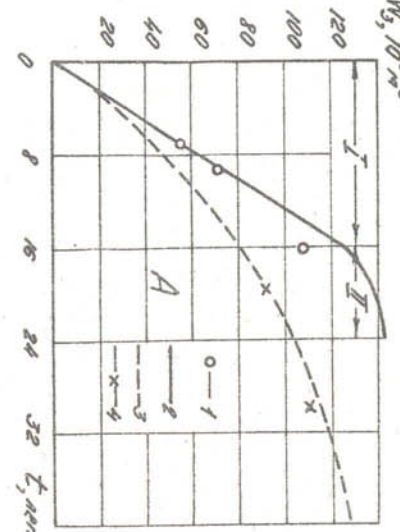
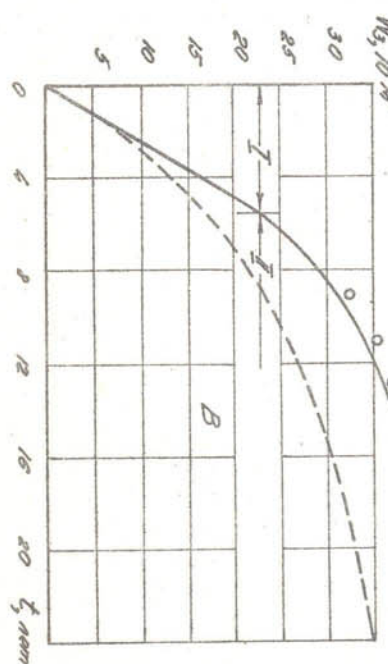
Б = Зээлэх (ФРГ);
В = Остин Юнитес (США);

— Осип Польес (Одис),
— Натурные данные;

2 - по расчету предлагаемым методом:

З - по методу Лапшенкова В.С.

4 - 110 METAL MAMMALS I * 211



V_c - объем верхнего бьефа на момент времени;
 $\eta = 3,5/m$
для начальных условий при $V_p = V_{ph}$, $V_c = V_h$ имеем:
 $\epsilon = 1 - \left(\frac{V_{ph}}{V_h}\right)^\eta$, (14)

где V_h - начальный объем бьефа.

Формула (14) хорошо подтверждается данными натурных измерений. На рис.7 показан построенный по натурным данным график зависимости изменения V_p/V_c от отношения V_3/V_0 (V_3 - объем занесения; V_0 - предельно заносимый объем).

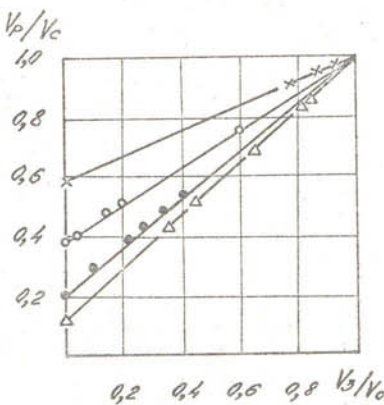


Рис.7. График зависимости $V_p/V_c = f(V_3/V_0)$ по данным натурных измерений в верхних бьефах гидроузлов:

Х - Камырраватского, О - Сарыкурганского,
• - Верхнезеравшанского, Δ - Газалкентского

Согласно рис. 7 можно записать следующее уравнение

$$V_p/V_c = \alpha + KV_3/V_0 \quad (15)$$

Для определения параметров этого уравнения используем следующие начальные и конечные условия.

При $t=0$: $V_3=0$, $V_p=V_{ph}$, $V_c=V_h$; тогда $\alpha=V_{ph}/V_h$

При $t=t_{np}$: $V_3=V_0$, $V_p=V_p'$, $V_c=V_c'$; тогда $K=1-\alpha=1-V_{ph}/V_h$

Подставляя в (13) значение V_p/V_c согласно (15) с учетом

конечного условия $K=1-\alpha$, имеем

$$\epsilon_c = 1 - \left[\alpha + (1-\alpha) \frac{V_3}{V_0} \right]^\eta = 1 - x^\eta, \quad (16)$$

где $x = \alpha + (1-\alpha) \frac{V_3}{V_0}$.

Интегрируя уравнение (4) при изменении ϵ согласно (16), получим

$$\frac{V_0}{1-\alpha} \int \frac{dx}{1-x^\eta} + C = \int_{0}^t \rho_i dt. \quad (17)$$

Решение левой части (17) при замене правой части через в случае неоднородного состава наносов ($0 < \eta < \infty$) приводит к формуле

$$V_3 = \frac{V_0}{1-\alpha} \left[\left(\frac{2}{1 + \sqrt{\alpha^\eta}} \exp t/\phi_3^{2/\eta} - 1 \right)^{2/\eta} - \alpha \right], \quad (18)$$

где $\phi_3 = V_0 A_3 / \eta (1-\alpha) G_3$; $A_3 = 0,5(1+\alpha)^{1-0,5\eta}$. Откуда продолжительность занесения до объема V_3 будет

$$t = \phi_3 \ln \frac{(1+\sqrt{x^\eta})(1-\sqrt{\alpha^\eta})}{(1-\sqrt{x^\eta})(1+\sqrt{\alpha^\eta})}. \quad (19)$$

Совместно с А.Г.Пулатовым формула (19) приведена к следующему упрощенному выражению

$$t = \phi_1 \ln \frac{1-\alpha^\eta}{1-x^\eta}, \quad (20)$$

где $\phi_1 = V_0 / \eta (1-\alpha) A_1 G_1$; $A_1 = 0,5(1+\alpha)^{\eta-1}$.

В случае однородного состава наносов ($\eta = \infty$) из (17) можно получить

$$t = V_3/G_1.$$

Как показывают лабораторные исследования процесс занесения однородными наносами происходит в форме гряды или конуса отложений, образующегося вблизи входного створа и постепенно перемещающегося в сторону плотины. При этом имеет место полное осаждение наносов до момента достижения грядой створа водосбросной плотины. Согласно рис.8 результаты расчета хода занесения по формуле (19) хорошо совпадают с данными натурных измерений.

2.3. Предлагаемые способы увеличения срока службы водохранилищ

В существующей литературе для уменьшения засыпания водохранилищ рекомендуется пониженный уровневый режим в половодье позволяющий пропустить транзитом часть взвешенных наносов, сбрасывая их в нижний бьеф. Однако для практической реализации этих предложений необходимо конкретизировать в случае каких водохранилищ осуществление пониженного уровневого режима эксплуатации позволит получить достаточно высокий эффект в части увеличения срока их службы.

Как указано ранее, исходя из интенсивности процесса отложения наносов, можно выделить три схемы засыпания водохранилищ.

Исходя из этих схем пониженный уровневый режим для увеличения срока службы можно реализовать в случае водохранилищ, относящихся к первой схеме засыпания и имеющих в начальный период эксплуатации возрастающий вынос наносов в нижний бьеф.

В случае водохранилищ, относящихся ко второй расчетной схеме засыпания, тоже можно рекомендовать применение пониженного уровневого режима эксплуатации.

Для водохранилищ, относящихся к третьей схеме засыпания применять пониженный уровневый режим целесообразно, так как транзит наносов в нижний бьеф в половодье может быть эффективен только при сработке больших масс воды для создания достаточной прочности и выноса наносов в нижний бьеф, что может нанести ущерб народному хозяйству, поскольку оставшейся после этой сработки части объема стока половодья реки может нехватать для заполнения водохранилища до полного объема. В этих случаях следует применить устройство разработанное нами для удаления наносных отложений из водохранилища.

Устройство состоит из плавсредств, грунтозаборника, трубы - провода уложенного на дно и концевой частью выходящей в нижний бьеф плотины и расположенной в зоне наибольших скоростей или вакуумной зоне, образующейся за порогом, через который пропущен трубопровод. Для своей работы устройство использует статический и дополнительный эжекционный кипоры позволяющие осуществить разработку, всасывание и транспортировку пульпы в нижний бьеф гидроузла.

На низконепорных гидроузлах, наряду с механизированной очист-

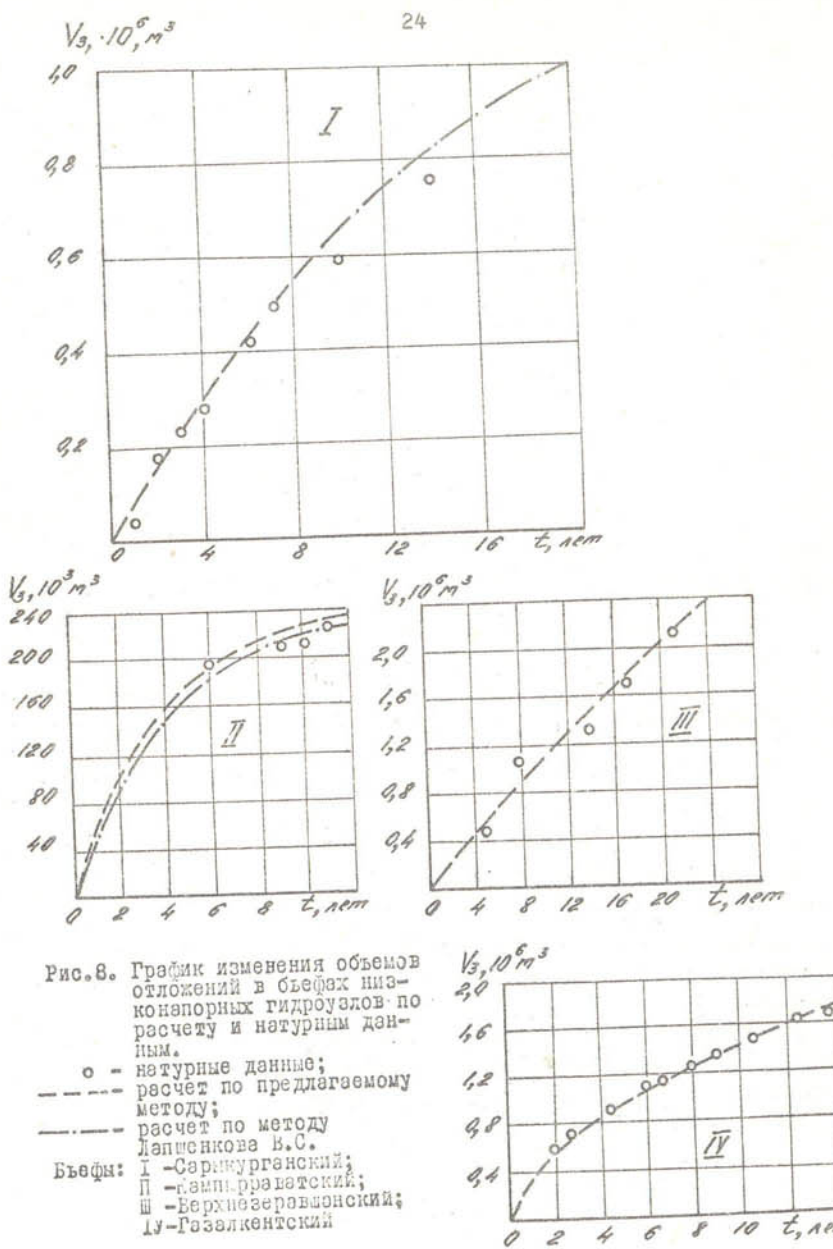


Рис.8. График изменения объемов отложений в бьефах низконепорных гидроузлов по расчету и натурным данным.

- - натурные данные;
 - - - расчет по предлагаемому методу;
 - - - расчет по методу Цапшенкова В.С.
- Бьефы:
I - Сарыкурганский;
II - Гами-Крайатский;
III - Верхнезеравинский;
IV - Газалкентский

кой, целесообразно применять гидравлический способ промыва отложившихся наносов со значительным снижением уровня воды перед плотиной, который подробно рассмотрен в существующей литературе.

В случае, если в водохранилище возможно образование плотного донного потока, сброс которого в нижний бьеф может существенно уменьшить интенсивность засыпания, для расчетов такого потока следует использовать специальные формулы, которые представляют замкнутую систему уравнений, составленную по рекомендациям И.И. Леви, А.В.Бочарина и др.

В целях уменьшения потерь воды на испарение с поверхности зеркала водохранилища нами разработано специальное устройство осуществляющее сброс теплой воды из поверхностного слоя водохранилищ и уменьшающее температуру этого слоя, а, следовательно, и испаряющую способность поверхности зеркала. Устройство работает за счет напора на гидроузле и имеет водоприемник в виде круглого плоского бака с отверстиями в верхней и нижней крышке, соединенного трубопроводом с донным водосбросом. Водоприемник расположен в центре водонепроницаемой платформы, погруженной в поверхность - ный слой воды на глубину 2,5-3,0 м. Платформа во время работы должна перемещаться в горизонтальной плоскости. При таком перемещении верхний теплый слой воды срезается платформой и захватывается водоприемником. Холодная же вода из нижних слоев, после пе - ремещения платформы, замещает теплую воду верхних слоев, ушедшую через водоприемник в нижний бьеф, понижая температуру верхнего слоя.

3. Рекомендации по определению зон затопления в процессе эксплуатации водохранилищ

В процессе эксплуатации по мере засыпания и занесения водохранилищ первоначальные уровни воды в зоне подпора, вследствие отложения наносов, изменяются, что вызывает изменение формы и длины кривых подпора, а, соответственно, и увеличение площадей затопления прилегающей территории. Наибольший подъем уровней воды обычно наблюдается в зоне первоначального выклинивания кривой подпора грубо определяемой пересечением плоскости зеркала водохранилища с уровнем воды в бытовом русле реки соответствующем среднему многолетнему расходу воды в этом русле.

Зная для любого момента заложения и занесения высотные положения отмечки уровня воды в зоне кривых подпора легко определить

изменение дополнительной площади затопления в процессе эксплуатации водохранилища.

тации водохранилища.

Ведущая роль в разработке методов расчета и построению кривых подпора при неравномерном установившемся движении воды в каналах и реках принадлежит видным советским ученым Н.Н.Павловскому, А.Н.Рахманову, В.И.Черномскому, Н.М.Бернадскому, И.А.Мосткову и др. Однако предложенные ими методы разработаны для недеформируемого русла и поэтому не учитывают изменение кривых подпора в процессе засыпания и занесения бьефа. Вопросу расчета кривых подпора в процессе засыпания и занесения водохранилищ посвящены работы С.Т.Алтунина, И.А.Бузунова, И.И.Леви, В.Н.Гончарова и В.И.Полтавцева, И.С.Румянцева, Р.К.Кромера, В.Н.Шолохова, И.А.Шнеера, Ф.Ш.Мухамеджанова и др.

Предлагаемые рекомендации уточняют и дополняют существующие методы расчета.

В случае зазиляемого съёма построение кривой подпора можно производить из значений уклонов водной поверхности в расчетных створах, определяемых из условия транзита заданной нагрузки по тока наносами для чего можно использовать следующую формулу

$$J = 0,006 (\rho u)^{2/3} / Q^{0,1} \quad (21)$$

Применяя формулу (21) к створу верхнего бьефа характеризуемого уклоном J_i при мутности β_i и крупности U_i и к бытовому руслу с уклоном J_d , в котором поток транспортирует расчетное количество наносов β_d при крупности U_d можно написать выражение

$$J_i = J_f \left(\frac{\rho_i}{\rho_f} \right)^{2/3} \left(\frac{u_i}{u_f} \right)^{2/3} \quad (22)$$

где ρ_i , u_i , ρ_d , u_d - соответственно мутность потока и крупность наносов в расчетном створе и в бытовом русле.

Выражая относительные мутности в расчетном створе через степень освещения $P_1/P_0 = 1 - \varepsilon$

$$\rho_i/\rho_\delta = 1 - \epsilon$$

и используя формулу, предложенную И.И.Горошковым и Н.Бекиметовым, для определения средней гидравлической крупности наносов учитывающей изменение фракционного составазвеси с изменением мутности вызываемой осаждением наносов.

$$U_i/U_g = (\rho_i/\rho_g)^{2/3}$$

можно привести выражение (22) к следующему виду

$$J_i = J_\delta (1 - \varepsilon)^2 \quad (23)$$

При построении кривой свободной поверхности, исходя из значений уклонов вычисляемых по (23), верхний бьеф разбивается на расчетные участки, после чего согласно предложения В.С.Лепшенко-ва объем воды, находящийся в зоне подпора выше расчетного створа, условно принимается за объем воображаемого подпорного бьефа как бы созданного расположенной в этом створе плотиной.

Первоначальная степень освещения потока, для таких воображаемых подпорных бьефов выше расчетного створа, определяется по формуле (2) или (3) и является створ, в котором $\varepsilon = 1,0$. Значения уклонов водной поверхности во всех расчетных створах, расположенных выше створа с $\varepsilon = 1,0$ (участок 2) вычисляются по выражению (23), а ниже этого створа до створа плотины уклон принимается $J_i = 0$.

Для бьефов засыпающихся в две стадии створ с $\varepsilon = 1,0$ в процессе засыпания смещается вниз по течению, достигая створа плотины в конце первой стадии. Таким образом, время засыпания первой стадии определяет положение створа с $\varepsilon = 1,0$ по времени. По имеющимся расстояниям и средним уклонам между створами определяют превышения уровней воды между створами, суммируя которые к отметке подпорного уровня у плотины, определяют отметку уровня в створе выклинивания кривой подпора. Она должна равняться отметке уровня в бытовом русле на расстоянии L от плотины.

В процессе занесения верхнего бьефа низконапорных гидроузлов схема принятая для расчета кривой подпора показана на рис.9. Для получения уравнения, описывающего кривую подпора, используем следующую формулу определяющую значение уклона водной поверхности в рассматриваемом створе

$$J_p = (1 - \varepsilon_p)(J_\delta - J_o) + J_o, \quad (24)$$

где J_o - уклон при отсутствии движения наносов.

Формула (24) выведена нами, применяя предложенную И.В.Егиазаровым формулу транспортирующей способности потока к расчетному створу рассматриваемого бьефа и бытовому руслу. Для определения входящей в (24) степени освещения в расчетном створе можно использовать выражение (13), заменив входящее в него отношение V_p/V_c зоны подпора выше створа через отношение длины этого участка к общей длине подпора согласно выражению

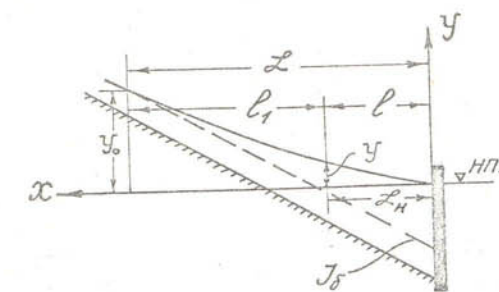


Рис.9. Расчетная схема кривой подпора в верхних бьефах низконапорных гидроузлов

$$V_p/V_c = 1 - K_p \frac{l_1}{L} \quad (25)$$

где K_p - некоторый коэффициент.

Подстановка (25) в (13) дает

$$\varepsilon_p = 1 - (1 - K_p l_1/L)^{\eta}. \quad (26)$$

Из условия $l_1 = L$, $\varepsilon_p = \varepsilon_L$, имеем

$$K_p = 1 - (1 - \varepsilon_L)^{1/\eta}, \quad (27)$$

где ε_L - степень освещения в створе плотины.

Из (20) с учетом (16), получим

$$\varepsilon_L = (1 - \alpha^{\eta}) \exp(-t/\phi_t). \quad (28)$$

Подставляя (28) в (27), получим

$$K_p = 1 - [1 - (1 - \alpha^{\eta}) \exp(-t/\phi_t)]^{1/\eta}. \quad (29)$$

Заменяя в (24) $J = dy/dx$ и выражая находящую в (24) степень освещения согласно (26) после интегрирования левой и правой части, имеем

$$y = \int_{\ell_1}^L [(J_\delta - J_o)(1 - K_p \frac{l_1}{L})^{\eta} + J_o] dl \quad (30)$$

Решение (30) приводит к выражению

$$y = \frac{L(J_\delta - J_o)}{K_p(\eta+1)} \left[\left(1 - K_p \frac{l_1}{L}\right)^{\eta+1} - (1 - K_p) \right] + J_o(L - l_1) \quad (31)$$

или

$$y = \frac{\mathcal{L}(J_o - J_d)}{K_p(\eta+1)} \left\{ \left[1 - K_p \left(1 - \frac{\ell}{\mathcal{L}} \right) \right]^{\eta+1} - (1 - K_p)^{\eta+1} \right\} + J_o \ell \quad (32)$$

где $\ell = \mathcal{L} - \ell_1$

Подставляя в (31) частные значения $\ell_1 = 0$, $y = J_o \mathcal{L} - \Delta H$, соответствующие створу выклинивания кривой подпора, получаем формулу для определения длины кривой подпора в рассматриваемый момент времени

$$\mathcal{L} = K_1 \frac{\Delta H}{J_o - J_d} \cong K_1 \mathcal{L}_H \quad (33)$$

где $K_1 = \frac{K_p(\eta+1)}{K_p(\eta+1) + (1 - K_p)\eta^{\eta+1} - 1}$, $\Delta H = H_n - H_d$,
здесь K_p - определяется по формуле (29).

4. Расчет оптимальных элементов мелиоративных каналов для различных режимов их эксплуатации

Оптимальность элементов русла каналов прежде всего определяется соблюдением его устойчивости.

Проблеме устойчивости русел посвящено значительное число работ как у нас в стране, так и за рубежом.

Большой вклад в развитие теории устойчивости и разработку методов расчета устойчивых русел внесли советские ученые: С.Х.Абабьянц, С.Т.Алтунин, И.А.Бузунов, В.С.Алтунин, К.Ф.Артамонов, М.А.Великанов, Т.Г.Войнич-Сяноженский, К.В.Гришанин, Г.В.Железняков, Ю.А.Ибад-Заде, Ю.Г.Иваненко, И.Ф.Карасев, А.А.Кадыров, Н.Б.Кереселидзе, А.И.Лаксберг и Б.П.Троицкий, В.С.Лапшенков, М.А.Михалев, А.М.Мухамедов, Е.К.Ребкова, Н.А.Рженишвили, А.В.Троицкий, Х.Ш.Шапиро, Т.А.Алиев, Р.И.Самедов, Г.Л.Скребков, Ч.Г.Нуриев и др.

За рубежом проблеме устойчивости посвящены работы П.Аkkerса, Р.Каландера, Д.Лейси, В.Лангбейна, Л.Леопольда, Д.Саймонса и др.

Разработанные нами рекомендации дополняют и развивают существующие проработки.

Распространенная в практике проектирования каналов методика их расчета исходящая из условий неразмываемости и незаливаемости для определения формы русла использует формулу С.А.Гиршмана

$$\beta = \beta/h = 3Q^{0,25} - m$$

Согласно же теоретических проработок А.В.Троицкого гидравлическая устойчивость потока в трапециoidalном русле сохраняется при значении $\beta = 10-12$. При значениях $\beta > 12$ динамическая ось потока может перемещаться в плане, вызывая соответствующие плавные деформации русла.

Поскольку нарушение гидравлической устойчивости вызывает продольные изменения структуры потока относительно геометрической оси канала, то эту устойчивость целесообразно назвать продольной устойчивостью потока и русла.

Наряду с блужданием потока нарушение устойчивости канала вызывается несоответствием поперечных размеров русла ширине потока, отвечающей продольной устойчивости. Русло при этом стремится расширяться до устойчивой ширины соответствующей кинематической структуре потока. Эту устойчивость целесообразно именовать поперечной устойчивостью.

Следовательно, плазовая устойчивость канала включает продольную и поперечную устойчивость русла.

Наряду с потерей плазовой устойчивости, нарушение устойчивости русла канала может вызываться такими факторами как: ветровые и судовые волны, повороты канала в плане, просадки и усадки грунта, наличие сужений в створах мостовых переходов, быстрый режим спорожнения канала и т.п. Однако эти факторы, как правило, вызывают локальные деформации не приводящие к существенному изменению режима работы канала.

4. I. Классификация режимов эксплуатации каналов

В процессе эксплуатации мелиоративных каналов в результате воздействия потока на русло устанавливается такое равновесие, при котором элементы канала в полной мере соответствуют кинематической структуре потока, определяемой заданной степенью гидравлической устойчивости. Степень устойчивости потока определяет также характер движения наносов и их количество, положение потока и русла в плане, степень воздействия потока на дно и берега русла и ряд других характеристик соответствующих различным режимам эксплуатации.

Для мелиоративных каналов целесообразно различать следующие режимы эксплуатации, в качестве числовых характеристики которых можно принять параметр m

I. Статический устойчивый режим.

Характеризуется отсутствием движения наносов, с крупностью частиц слагающих русло, что соответствует неразмывающей скорости. Можно выделить:

- а) русло статического равновесия - $\varphi = 0,674$;
- б) русло предельного равновесия - $\varphi = 0,10$.

2. Квазидинамический режим (переходный).

Занимает промежуточное положение между статической и динамической устойчивостями. Характеризуется началом возникновения донных образований в виде рифелей и подготовкой потока к транспортным образованиям всех частиц донных наносов. Береговые деформации отсутствуют.

По состоянию наносов можно выделить:

- а) начало движения наносов при $\varphi = 0,13$;
- б) начало массового движения наносов при $\varphi = 0,20$.

3. Динамически устойчивый режим.

Подразделяется на два вида:

а) динамически устойчивый режим прямолинейного русла, при котором по руслу канала транспортируются донные наносы в виде рифелей и первичных гряд, при сохранении прямолинейности потока в плане. Береговые деформации русла отсутствуют. Характеризуются значениями $\varphi = 0,20 \pm 0,42$;

б) динамически устойчивый режим извилистого русла, при котором поток и русло принимают криволинейную устойчивую в плане форму, транспортируя донные наносы в виде первичных искривленных в плане гряд, что соответствует ленточно-грядовому типу руслового процесса. Если русло канала построить прямолинейным, то в процессе его эксплуатации возникнут береговые деформации противоположного знака, располагающиеся в шахматном порядке, в результате которых будет формироваться русло криволинейное в плане.

Если берега канала сложены из связанных грунтов, то прямолинейность его русла может сохраняться за счет их неразмываемости, но динамическая ось потока в русле будет искривлена относительно геометрической оси самого канала. Режим характеризуется значениями $\varphi = 0,42 \pm 1,0$.

г) Неустойчивый режим.

В случае несвязанных грунтов ложа характеризуется постоянными изменениями планового положения потока и русла.

Если берега сложены связанными грунтами, а дно несвязанными, то возможно сохранение первоначальной прямолинейности русла. Причем искривленная динамическая ось потока непрерывно меняет местоположение (аналогичен побочному типу руслового процесса). Характеризуется значением $\varphi > 1,0$.

4.2. Параметр, характеризующий режим эксплуатации

Принятый нами для оценки режимов эксплуатации каналов параметр можно представить в виде

$$\varphi = HJ/d = U_*^2/gd \quad (35)$$

Численные значения параметра φ , указанные выше, для каждого режима эксплуатации получены по данным натурных и лабораторных исследований приведенных в литературе и полученных автором. Обратная величина этого параметра в виде gd/U_*^2 предлагалась для оценки устойчивости русла М.М. Гришиным, М.А. Великановым, Н.И. Мажкаевым, И.И. Леви, М.А. Мостковым.

Известны и другие параметры для оценки устойчивости русла. Так, Н.А. Рженицын предложил параметр

$$Y = \frac{dB}{H^2 J} = \frac{d}{HJ} \cdot \frac{B}{H} \quad (36)$$

который учитывает в комплексе продольную и поперечную устойчивость. Однако мы считаем более целесообразным рассматривать каждую из этих устойчивостей отдельно, так как при наличии плановых деформаций канала необходимо установить какая устойчивость нерушена, чтобы наметить соответствующие мероприятия для ее восстановления.

4.3. Поперечная устойчивость русла

Под поперечной устойчивостью русла мы понимаем такую устойчивость, при которой отсутствует поперечное расширение русла, условием чего может служить определенная устойчивая ширина по урезу воды, отвечающая заданному φ . Следовательно, устойчивая ширина должна быть строго увязана с гидравлической устойчивостью для того, чтобы размеры русла соответствовали той кинематической структуре потока, которая создается заданным режимом.

эксплуатации, определяемым параметром

В существующих зависимостях по определению устойчивой ширины русла отсутствует указанная взаимосвязь и так как коэффициент шероховатости назначается произвольно, чаще завышенным, то это вызывает блуждание потока за счет нарушения гидравлической устойчивости при повышенных уклонах водной поверхности и как следст-вие наблюдается размыт берегов при устойчивой ширине.

Свидетельством отсутствия взаимосвязи ширины русла с гидравлической устойчивостью служит значительное расхождение результатов расчета устойчивой ширины по существующим формулам для заданных конкретных условий, что и вызвало необходимость уточнения и дополнения известных рекомендаций.

Приняв за основу формулу предложенную А.В.Троицким для расчета устойчивой ширины канала, по натурным данным определены значения коэффициента пропорциональности для различных условий устойчивости и следующих видов грунтов:

- а) берега и дно сложены мелкопесчаными грунтами;
- б) берега сложены связными грунтами, а дно песчаное;
- в) берега и дно сложены гравелисто-галечниковых грунтами.

В соответствии с полученными значениями коэффициента расчет ширины канала по урезу воды в зависимости от грунтовых условий русла можно производить по следующим формулам:

а) в случае каналов проложенных в мелкопесчаных грунтах и каналов, дно которых песчаное, а берега сложены связными грун-тами

$$B = 1,15 \left[1 + K \left(\frac{\varphi}{\varphi_0} - 1 \right) \right] \frac{Q^{0,37}}{J^{0,20}} \quad (37)$$

где K - коэффициент пропорциональности, значения которого следует принимать:

при полностью песчаном русле $K = (0,078 + 0,05I)$;

при песчаном дне, супесчаных берегах

$K = (0,05I + 0,019)$;

при песчаном дне, суглинистых и глинистых берегах

$K = (0,05I + 0)$;

б) в случае гравелисто-галечниковых грунтов

$$B = 1,596 \left[1 + 0,0604 \left(\frac{\varphi}{\varphi_0} - 1 \right) \right] \frac{Q^{0,37}}{J^{0,20}} \quad (38)$$

4.4. Коэффициент шероховатости русел каналов

Пропускная способность русла канала и его устойчивость за-висят от гидравлических сопротивлений, определению которых пос-вящены работы Н.Н.Павловского, И.И.Агронина, Д.В.Штеренлихта, Г.В.Железнякова, М.А.Мосткова, Б.Ф.Снищенко, З.Д.Копалиаки, В.Н.Гончарова, А.А.Кадырова, В.П.Щегловой, А.А.Чирковой, В.Ф.Тэл-мазы, М.П.Сесорова и др.

Для оценки гидравлических сопротивлений русла принимают безразмерный коэффициент гидравлических сопротивлений λ или обратную ему величину - коэффициент Шези $C = \sqrt{2g/\lambda}$. Большинство существующих формул выражают коэффициент Шези в зависи-мости от гидравлического радиуса (средней глубины) и коэффици-ента шероховатости, определение значения которого вызывает серь-езные затруднения ввиду отсутствия достаточно надежных показате-лей для его выбора в каждом конкретном случае. Как правило коэф-фициент шероховатости назначается в зависимости от внешней ха-рактеристики смоченной поверхности русла, а также от условий про-изводства работ при строительстве канала или устраиваемого в нем ме-стопокрытия. В естественных оросительных каналах и руслах рек имеет мес-то движение донных наносов, в результате которого дно покрыто морфологическими образованими (рифели, гряды), определяющими в основном значение коэффициента шероховатости русла. Размер и форма этих образований зависят от количества наносов, а, следова-тельно, от режима эксплуатации канала.

Построенные по натурным данным графики зависимости коэффи-циента шероховатости от условий устойчивости позволили получить формулы следующего вида:

а) для русел с песчаным дном и берегами из связных и нес-вязных грунтов

$$n = n_0 \left[1 + 0,083 \left(\frac{\varphi}{\varphi_0} - 1 \right) \right]. \quad (39)$$

б) для русел из гравелисто-галечниковых грунтов

$$n = n_0 \left[1 + 0,16 \left(\frac{\varphi}{\varphi_0} - 1 \right)^{0,54} \right], \quad (40)$$

где $n_0 = 0,0524 Q^{1/6}$ (формула Чанга).

4.5. Связь средней скорости потока с режимом эксплуатации каналов

Заданная пропускная способность канала обеспечивается при средней скорости течения в значительной степени зависящей от режима эксплуатации.

Принимая для определения средней скорости формулу Шези $V = (\sqrt{J/n})R^{0.5+y}$ для увязки ее с условиями эксплуатации приведем эту формулу к следующему виду

$$V = \frac{1}{\pi} \sqrt{\frac{HJ}{d}} \left(\frac{R}{H} \right)^{0.5+y} H^y \sqrt{d} \quad (41)$$

Формула (41) включает множитель $(R/H)^{0.5+y}$, служащий корректирующим влияние на скорость потока разницу между гидравлическим радиусом и средней глубиной потока.

Принимая $R \geq H$, получим

$$V = (\sqrt{\varphi/n}) H^y \sqrt{d} \quad (42)$$

Формула (42), предложенная ранее в несколько ином виде М.А.Мостковым, отражает связь средней скорости с режимом эксплуатации каналов.

В частном случае, для статически устойчивого режима

$$(\varphi = \varphi_0 \text{ и } n = n_0 = 0,0524 d_{cp}^{0.63}) \text{ имеем}$$

$$V_0 = (\sqrt{\varphi_0/n_0}) H^y \sqrt{d} = K_v H^y d^{0.5-y} \quad (43)$$

По структуре формула (43) аналогична формулам для определения неразмывающей скорости предложенным Г.И.Шемовым, А.М.Латышенковым, В.Н.Гончаровым, Г.С.Чекулаевым, И.И.Леви, И.К.Никитиным, Я.В.Бодришкиным, И.Я.Орловым, М.А.Мостковым, В.С.Лапшенковым, А.А.Кадыровым и др.

Однако при практических расчетах лучше применять формулу общего вида (42), которая позволяет определять среднюю скорость для момента прекращения движения гряд, принимаемую в этих условиях в качестве неразмывающей скорости. Определение значений неразмывающей скорости из условия прекращения движения донных песчаных гряд при различных глубинах воды производились САНИИРИ на Кзылкумском канале в Чимкентской области КазССР. Результаты расчета по формуле (42) дали хорошее совпадение с полученными натурными данными. Расчетом по формуле (42) также установлено, что в случае гладкого дна неразмывающие скорости на 40 % больше

чем при грядовом дне.

Неразмывающие скорости вычисленные по формуле (42) при глубине 1 м и $d_{cp} = 0,2$ мм изменяются в пределах $V_{0.1} = 0,26 - 0,42$ м/с в зависимости от условий устойчивости и морфологического строения дна. Существующие зависимости, в том числе зарубежные, также показывают изменение скорости в указанных пределах, но не объясняют причин таких больших расхождений.

4.6. Расчет оптимальных элементов мелиоративных каналов

Русло проектируемого канала характеризует элементы Q , B , H , J , n .

Первый элемент Q , при проектировании задается. Последние четыре должны определяться расчетом в зависимости от режима эксплуатации, так как произвольное принятие хотя бы одного из них сразу задает соответствующую ему степень устойчивости русла.

Для нахождения этих элементов следует использовать систему следующих уравнений справедливую в случае расчета устойчивых сечений каналов как в мелкопесчаных, так и в связанных грунтах

$$H = \left\{ \frac{n Q^{0.63}}{1.15 [1 + K \left(\frac{\varphi}{\varphi_0} - 1 \right) \varphi^{0.3} d^{0.3}]} \right\}^{\frac{1}{1.2+y}} \quad (44)$$

$$J = \frac{\varphi d}{H} \quad (45)$$

$$B = 1.15 \left[1 + K \left(\frac{\varphi}{\varphi_0} - 1 \right) \right] \frac{Q^{0.37}}{J^{0.20}} \quad (46)$$

При решении этой системы значение коэффициента шероховатости определяется по формуле (25). Уравнения (44), (45) и (46) системы получены совместным решением выражений (35), (37) и (42). Совместное решение (35), (36) и (42) дает формулу для определения глубины канала проложенного в гравелисто-галечниковых грунтах

$$H = \left\{ \frac{n Q^{0.63}}{1.596 \left[1 + 0.0604 \left(\frac{\varphi}{\varphi_0} - 1 \right) \right] \varphi^{0.3} d^{0.3}} \right\}^{\frac{1}{1.2+y}} \quad (47)$$

Остальные элементы канала B , n , J определяются соответственно по формулам (38), (40) и (45).

Из приведенных формул следует, что при сохранении постоянных значений φ и при изменении величины расхода воды, значение параметра формы русла B/H не изменяется, т.е. оказывает - ся независящим от величины расхода Q . Если же с изменением расхода воды изменяется и устойчивость русла, определяемая параметром φ , то значение параметра B/H также изменяется, создавая иллюзию зависимости его от расхода воды. Этим объясняется существование в литературе двух групп морфометрических формул отличающихся между собой формулой связи B/H от Q .

Согласно предлагаемых формул предельное значение параметра формы русла, отвечающего режиму динамической устойчивости прямолинейного русла, при котором сохраняется гидравлическая устойчивость можно принять $B/H = 26$, что совпадает с рекомендациями В.С.Алтунина (устойчивость русла сохраняется при $B/H = 26 \pm 30$), опытными данными М.М.Селяметова ($B/H=26$) и результатами натурных исследований А.А.Кадырова и З.Н.Нуритдинова, которые, изучая кинематическую структуру потока в каналах, установили наличие гидравлической устойчивости при $B/H=25$, а при $B/H=35-40$ - блуждание потока.

Рекомендуемые А.В.Троицким, С.А.Гиршканом значения относительной ширины по дну $\beta = \delta/h = 10-12$ при переводе их в значения параметра формы, с помощью формулы

$$B/H = (\beta + 2m)^2 / (\beta + m), \quad (48)$$

при заложении откоса $m=4$, дают значения $B/H=23 \pm 25$, что вполне согласуется с нашими рекомендациями.

5. Рекомендации по изучению режимов эксплуатации мелиоративных каналов в лабораторных условиях

При проектировании каналов встречаются такие вопросы эксплуатации как влияние зарастания на пропускную способность, применение различных видов креплений откосов, занесение песком и пылью приносимых ветром, отложения наносов на участке водораспределения, деформация канала после включения в него сбросного или подпитывающего русла и т.п. Эти вопросы могут решаться только

путем лабораторных исследований на размываемых моделях. При проектировании таких моделей большое значение имеет правильный выбор масштабов.

Известно много методов расчета масштабов моделей размываемых русел. Большой вклад в развитие теории подобия и методов моделирования внесли ученые: С.Х.Абельянц, Р.Р.Абдураупов, С.Т.Алтуний, В.С.Алтуний, М.А.Беликанов, Н.С.Знаменская, А.В.Кареушев, В.С.Лапшенков, И.И.Леви, М.А.Мостков, Н.А.Рженищев, Н.Н.Сурова и др. Среди зарубежных исследований наибольший интерес представляют работы П.Аккерса, Дж.Харбертсона, Де Бриса, Р.Гарде и др.

Все известные методы моделирования, размываемых русел основаны на искажении масштабов и имеют существенный недостаток заключающийся в том, что в них в скрытом виде искажается плановая устойчивость русла модели по сравнению с натурой.

Составляя отношение показателя устойчивости натуры к модели с помощью параметра φ , принимая условие равенства поперечного и продольного масштабов и используя соотношение основных масштабов предложенное С.Т.Алтуниным, получим для мелкопесчаных моделей с натуральным песком следующее выражение

$$\varphi_H / \varphi_M = \alpha_\delta^{2m-1} \quad (49)$$

где α_δ - плановый масштаб;

m - показатель степени в формуле С.Т.Алтунина.

Как видно из (49) только при $m=0,5$ соблюдается условие $\varphi_M = \varphi_H$. Но во всех существующих морфометрических зависимостях $m > 0,5$ и поэтому $\varphi_M < \varphi_H$. Для правильного отображения режимов эксплуатации необходимо условие

$$\varphi = idem \quad (50)$$

При этом условии из рекомендуемых формул по расчету устойчивых сечений вытекает независимость B/H от расхода воды, а это означает

$$B/H = idem \quad (51)$$

Откуда следует, что два потока с одинаковым режимом эксплуатации должны иметь геометрически подобные поперечные сечения, т.е.

$\alpha_\delta = \alpha_h$. Из (50) вытекает выражение для масштаба уклона

$$\alpha_i = \alpha_d \alpha_{\sigma-1} / \alpha_h \quad (52)$$

Из формулы Шези получим выражение для масштаба скорости

$$\alpha_v = \frac{1}{n} \alpha_h^y (\alpha_d \alpha_{\sigma-1})^{0.5} \quad (53)$$

Для масштаба расхода воды имеем

$$\alpha_q = \frac{1}{n} \alpha_h^{2+y} (\alpha_d \alpha_{\sigma-1})^{0.5} \quad (54)$$

Коэффициент шероховатости на мелкопесчаной модели канала определяется по формуле полученной по данным лабораторных исследований автора и данным различных исследователей, следующего вида

$$n_M = n_o [1 + K' (\frac{\varphi}{\varphi_o} - 1)^{0.7}] \quad (55)$$

где $K' = 0.26 - 0.20$

Рекомендуемая методика моделирования была проверена в САНИИРИ к.т.н. Хусан-Ходжаевым Э.З. путем сравнения поперечных сечений с изотахами построенных по результатам опытов на песчаной модели Кызылкумского канала с натуральными данными. Сравнение показало вполне удовлетворительное соответствие лабораторного русла натуральному.

6. Прогноз изменения уровенного режима оросительных каналов с водозабором из водохранилищ

Проектируемые каналы в мелкопесчаных грунтах с динамическими условиями устойчивости и каналы старых оросительных систем, осуществляющих бесплотинный водозабор из реки с большим содержанием наносов, которые предполагается переключить на водозабор из водохранилищ, будут связаны с общим размывом русла освещенным потоком или потоком, содержание наносов в котором постепенно увеличивается по мере заложения верхнего бьефа.

Таким образом, прогнозируемые изменения уровенного режима таких каналов должно быть основано на методике расчета общего размыва, которую целесообразно разделить на методику расчета размыва освещенным потоком и методику расчета размыва при возрастающем поступлении наносов из водохранилищ.

6.1. Методика расчета размыва освещенным потоком

Расчетная схема размыва русла освещенным потоком показана на рис.10.

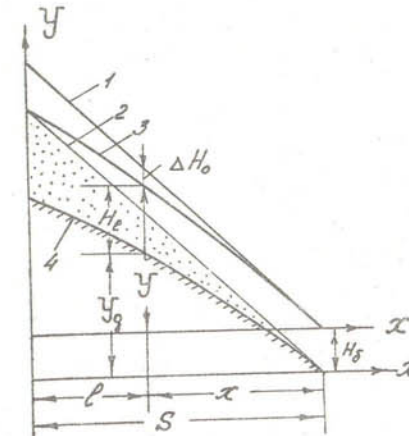


Рис.10. Расчетная схема общего размыва русла освещенной водой при мелкопесчаных грунтах: 1, 2 - бытовой уровень воды; 3, 4 - уровень воды и дна в размытом русле

Согласно выражению (24) можно написать:

$$J_e = \frac{\mu_e}{\mu_d} (J_d - J_o) + J_o \quad (56)$$

где μ_e и μ_d - удельное содержание наносов в створе на расстоянии ℓ от плотины размываемого русла и в бытовых условиях на расстоянии S равном длине участка размыва.

Согласно данным многолетних лабораторных исследований различных авторов удельное содержание наносов μ_e можно определить по выражению

$$\mu_e = \mu_d \left[1 - \left(\frac{S - \ell}{S} \right)^2 \right] \quad (57)$$

Подставляя (57) в (56), заменяя $J = -dy/dx$, и интегрируя полученнное выражение, будем иметь

$$y = \int \left\{ J_o + \left[1 + \left(\frac{S - \ell}{S} \right)^2 \right] (J_d - J_o) \right\} d\ell + C$$

После взятия квадратур правой части и определения постоянной получим следующую формулу

$$y = y_o + \frac{(J_f - J_o) \ell^3}{3S^2} - \frac{(J_f - J_o) \ell^2}{S} - J_o \ell . \quad (58)$$

Для определения понижения уровня воды в расчетных створах выражение (58) приведем к виду

$$\Delta H_o = \Delta H_1 - y_o + \ell (J_f - J_o) \left[\frac{\ell}{S} - 1 - \frac{1}{3} \left(\frac{\ell}{S} \right)^2 \right], \quad (59)$$

где $y_o = \frac{S}{3}(2J_f + J_o)$, $\Delta H_1 = J_f(S - \ell)$

Расчетная формула для определения распространения размыва в зависимости от продолжительности деформации русла может быть получена исходя из следующего выражения для объема размыва

$$W_{раз} = B \left[\frac{J_f S^2}{2} - \int_0^S y_g d\ell \right] . \quad (60)$$

Подставляя в интеграл правой части (60) выражение изменения дна в размываемом русле $y_g = y + H_f - H_o$ и исключая y с помощью (58) после взятия квадратур и решения относительно длины S (с заменой $W_{раз} = t_p G_o$), получим

$$S = \frac{\sqrt{N^2 + 4MtG_o/B} - N}{2M} , \quad (61)$$

где $M = \frac{1}{72}(J_f - J_o)$, $N = 0,5(0,9H_o - H_f)$

В случае наличия базиса эрозии (закрепленная неразмываемая точка на продольном профиле дна размываемого русла), длина общего размыва русла ограничивается расстоянием от плотины до места расположения этого базиса S_o . При этом кривая свободной поверхности на участке размыва русла описывается уравнением

$$y = \int [K \frac{\ell}{S_o} (J_f - J_o) + J_o] d\ell + c . \quad (62)$$

Откуда, после решения (62) и определения значения постоянной c , имеем

$$y = y'_o - J_o \ell - \frac{K \ell^2}{2S_o} (J_f - J_o) , \quad (63)$$

где $y'_o = J_o S_o + 0,5 K S_o (J_f - J_o)$.

Для определения снижения уровня воды в расчетных створах выражение (63) можно представить в виде

$$\Delta H_o = J_f S_o - y'_o + \ell^2 (J_f - J_o) \left(\frac{K \ell}{2S_o} - 1 \right) . \quad (64)$$

Поскольку коэффициент K уменьшения стока наносов в створе базиса эрозии изменяется по мере размыва русла, то его значение зависит от объема размыва или от продолжительности размыва. Выражение для объема размыва при изменении значений коэффициента от K_n до K_{n+1} можно записать в виде

$$W_{раз} = B \left[\int_0^{S_o} (y_g)_n d\ell - \int_0^{S_o} (y_g)_{n+1} d\ell \right] \quad (65)$$

Подставляя в левую часть (65)

$$W_{раз} = t_p G_o 0,5(K_n + K_{n+1}) , \quad (66)$$

и исключая из правой части y_g с помощью выражения для поверхности дна и (63) после взятия квадратур и решения относительно продолжительности размыва, получим

$$t_p = \frac{1/3 B S_o^2 (J_f - J_o) (K_n + K_{n+1}) + 0,5 B S_o (H_{n+1} - H_n)}{0,5 (K_n + K_{n+1}) G_o} \quad (67)$$

В начальный момент времени и после того как размыв достигнет базиса эрозии, коэффициент $K_n = 1$. В процессе расчета необходимо задаться значением $K_{n+1} < 1$ и определить время размыва t_p , которому соответствует K_{n+1} . Затем за начальное значение принимается K_{n+1} и задаются новым значением $K'_{n+1} < K_{n+1}$ и т.д. Для определения глубин H_{n+1} и H_n в створе базиса эрозии, соответствующих значениям коэффициентов K_{n+1} и K_n , рекомендуется зависимость

$$H_n = H_f \left(\frac{J_n}{J_{n+1}} \right)^{0,295} \quad (68)$$

Уклон водной поверхности в створе базиса эрозии J_n можно определять по формуле (56), произведя замену $M_e = K/45$

6.2. Расчет снижения уровня воды в каналах с учетом наносов поступающих из верхнего бьефа низкоконпорных гидроузлов

На участке размыва наносы транспортируемые потоком можно разделить на наносы, поступающие вместе с водой из верхнего бьефа, которые назовем транзитными, и наносы, представляющие продукты размыва дна и берегов русла, которые можно именовать русловыми. Расчетная схема размыва для этого случая показана на рис. II.

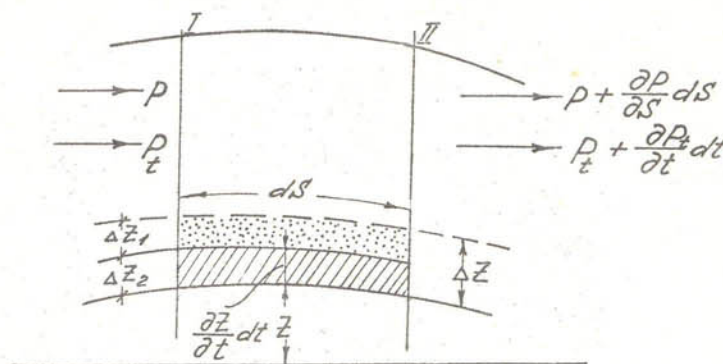


Рис. II. Расчетная схема общего размыва русла с учетом наносов поступающих из верхнего бьефа

Согласно этому рисунку через створ I на расчетный участок поступает расход наносов P и через створ 2 выходит расход наносов $P_t + \frac{\partial P}{\partial s} ds$.

Если бы в нижний бьеф, через створ I, поступал осветленный поток (без наносов), то за время dt в створе 2 приращение количества наносов $\frac{\partial P}{\partial s} ds dt$ произошло бы только за счет продуктов размыва русла соответствующих понижению дна на величину ΔZ . Однако в рассматриваемых условиях на расчетный участок через створ I поступают транзитные наносы, расход которых увеличивается во времени. Расход этих наносов на момент времени t обозначим через P_t . Интенсивность его изменения будет $\frac{\partial P_t}{\partial t} dt$ и соответственно количество транзитных наносов за время dt составит $\frac{\partial P_t}{\partial t} dt dt$.

На расчетной схеме рис. II условно транзитные наносы можно представить в виде слоя толщиной ΔZ_2 , уменьшающего движение дна до величины $\Delta Z_1 = \Delta Z - \Delta Z_2$.

Поскольку транзитные наносы P_t входят в общий расход наносов P , то приращение количества наносов в створе 2 должно слагаться из приращения количества транзитных наносов в створе I и продуктов размыва русла на рассматриваемом участке за время dt при снижении дна на величину ΔZ_2 , которая в

нашем случае будет меньше величины размыва дна осветленным потоком ΔZ . Количество русловых наносов, поступающих на рассматриваемый участок через створ I, равно $(P - P_t) dt$, а выходящих за его пределы через створ 2 составят

$$[P + \frac{\partial P}{\partial s} ds - (P_t + \frac{\partial P_t}{\partial t} dt)] dt$$

Это позволяет написать дифференциальное уравнение баланса наносов и деформации русла

$$[P + \frac{\partial P}{\partial s} ds - (P_t + \frac{\partial P_t}{\partial t} dt)] dt - (P - P_t) dt = -\gamma' B \frac{\partial Z}{\partial t} dt ds \quad (69)$$

Откуда

$$\nu \frac{\partial P}{\partial s} - \frac{\partial P_t}{\partial t} = -\gamma' B \frac{\partial Z}{\partial t} \nu, \quad (70)$$

где $\nu = \frac{ds}{dt}$.

Решение (70) произведено нами с помощью вспомогательной системы обыкновенных дифференциальных уравнений.

Для начального створа размыва имеем

$$P_H - P = P_t + C, \quad (71)$$

где P - транспортирующая способность потока на момент времени t ;

$P_H = P_K$ - расход наносов в русле (канале) в начале размыва;

C - некоторая константа.

Для расхода наносов поступающих в канал из водохранилища можно записать выражение

$$P_t = (1 - K_H) P_\sigma (1 - \varepsilon), \quad (72)$$

где K_H - коэффициент безнаносного водозабора;

P_σ - расход наносов в реке в бытовых условиях.

Подставляя в (72) выражение для степени осветления согласно (28), получим

$$P_t = (1 - K_H) P_\sigma [1 - (1 - \alpha') e^{-\frac{t}{\phi'}}] \quad (73)$$

Подставляя (73) в (71) и определив постоянную C из начальных условий, будем иметь

$$P = P_K - (1 - K_H) P_\sigma (1 - \alpha') (1 - e^{-\frac{t}{\phi'}}) \quad (74)$$

Формула (74) отражает изменение транспортирующей способности потока в голове размываемого канала в зависимости от условий забора

наносов из водохранилища и продолжительности размыва.

Размыв русла в начальном створе размываемого участка канала прекратится когда увеличивающийся расход поступающих из верхнего бьефа наносов станет равным транспортирующей способности потока в этом створе размываемого русла.

Приравнивая правые части (73) и (74) получим, следующую формулу для определения предельного времени размыва канала

$$t_{np} = \Phi_1 \ln \frac{2(1-\alpha^q)(1-K_H)}{(1-\alpha^q)[1+(1-\alpha^q)-\rho_K/\rho_\sigma]} \quad (75)$$

Для построения кривой свободной поверхности в размываемом русле канала и определения понижения уровней воды используем формулу (56), приведя ее в соответствие с рассматриваемыми условиями к следующему выражению

$$\bar{J}_x = \frac{\rho_x}{\rho_K} (J_K - J_o) + J_o \quad (76)$$

Формула (74) для расчетного створа примет вид $\frac{tx}{\bar{J}_x}$

$$\rho_x = \rho_K - (1-K_H)\rho_\sigma(1-\alpha^q)(1-e^{-\frac{\Phi_1 S}{\rho_K}}) \quad (77)$$

Подставляя (77) в (76) и заменив $\bar{J}_x = dy/dx$, после интегрирования получим следующее уравнение поверхности воды в размываемом русле

$$y = J_K x - (J_K - J_o)(1-K_H) \frac{\rho_\sigma}{\rho_K} (1-\alpha^q) x - \frac{tx}{\bar{J}_x} \\ (J_K - J_o)(1-K_H) \frac{\rho_\sigma}{\rho_K} (1-\alpha^q) \frac{\Phi_1 S}{t} e^{-\frac{\Phi_1 S}{\rho_K}} + \\ (J_K - J_o) \frac{\Phi_1 S}{t} (1-K_H) (1-\alpha^q) \frac{\rho_\sigma}{\rho_K}. \quad (78)$$

Для определения снижения уровней воды в процессе размыва можно использовать выражение

$$\Delta H_o = (J_K - J_o)(1-K_H) \frac{\rho_\sigma}{\rho_K} (1-\alpha^q) x - \\ (J_K - J_o) \frac{\Phi_1 S}{t} (1-K_H) (1-\alpha^q) \frac{\rho_\sigma}{\rho_K} (1-e^{-\frac{\Phi_1 S}{\rho_K}}). \quad (79)$$

Для определения длины распространения размыва S используем следующую зависимость:

а) геометрический объем размыва дна согласно принятой расчетной схемы размыва (рис.10)

$$W_{raz} = B \left[\frac{J_K S^2}{2} - \int_0^S y_j dx \right] \quad (80)$$

б) возможный объем размыва, выраженный разностью между стоком наносов соответствующим транспортирующей способности потока в русле канала за пределами размыва и стоком наносов поступающих из верхнего бьефа:

$$W_{raz} = t G_K - \frac{(1-K_H)T_1}{\gamma_H} \int_0^t [1-(1-\alpha^q)e^{-\frac{\Phi_1}{\rho_K} t}] dt; \quad (81)$$

в) уравнение поверхности дна размываемого русла $y_j = y + H_p - H_e$;

г) уравнение (78) поверхности воды в размываемом русле. В результате совместного решения указанных уравнений и интегрирования полученного дифференцированного уравнения, а также некоторых преобразований, получим

$$S = \sqrt{N^2 + (1/8)4M \left\{ t G_K - \frac{(1-K_H)T_1}{\gamma_H} [\rho_\sigma t - \rho_\sigma(1-\alpha^q)(1-e^{-\frac{\Phi_1}{\rho_K} t})] - N \right\}} \quad (82)$$

где $N = 0,5(H_p - H_e)$; $H_p = H_K \left(\frac{J_K}{J_p} \right)^{0,292}$;

$$M = (J_K - J_o)(1-K_H)(1-\alpha^q) \frac{\rho_\sigma}{\rho_K} \left(\frac{\Phi_1^2}{t^2} - \frac{1}{2} - \frac{\Phi_1^2 - \Phi_1}{t^2} e^{-\frac{\Phi_1}{\rho_K} t} \right)$$

H_p, J_p - глубина и уклон водной поверхности в начальном створе размываемого участка канала.

Решая совместно (76) и (77) при $x = S$, имеем

$$J_p = \left[1 - (1-K_H) \frac{\rho_\sigma}{\rho_K} (1-\alpha^q) (1-e^{-\frac{\Phi_1}{\rho_K} S}) \right] (J_K - J_o) + J_o \quad (83)$$

6.3. Расчет размыва отводящего речного русла в нижнем бьефе низконапорных гидроузлов с учетом наносов из верхнего бьефа

Для разработки методики расчета использованы:

а) уравнение расхода наносов сбрасываемых через плотину в нижний бьеф

$$\frac{\rho}{t} = K_H \rho_\sigma [1 - (1-\alpha^q) e^{-\frac{\Phi_1}{\rho_K} t}] \quad (84)$$

б) уравнение расхода наносов в бытовом русле нижнего бьефа (за пределами общего размыва)

$$\rho = \rho_\sigma (1-\psi) \quad (85)$$

где ψ - для расходов воды в реке, поступающих в канал. Подставляя (84) и (85) в (71) после определения постоянной интегрирования из начальных условий, имеем

$$\rho = P_f [1 - \psi - K_H (1 - \alpha^{\eta}) (1 - e^{-\frac{t}{\phi_f}})] \quad (86)$$

Приравнивая левые части (84) и (86), получим

$$t_{np} = \phi_f t \ln \frac{2 K_H (1 - \alpha^{\eta})}{K_H + \psi + K_H (1 - \alpha^{\eta}) - 1} \quad (87)$$

в начальном случае когда $K_H + \psi = 1$, $t_{np} = 0,7 \phi_f$. Таким образом формула (87) позволяет определить предельное время размыва, после которого на начальном участке начнется процесс занесения нижнего бьефа, вызываемый сбросом через плотину расхода наносов, превышающего транспортирующую способность размытого русла.

Для построения кривой свободной поверхности в размытом русле и определения снижения уровня воды используем формулу (56), которая для рассматриваемых условий примет вид

$$J_x = \frac{\rho_x}{\rho_f (1 - \chi)} (J_f - J_o) + J_o \quad (88)$$

Выражение (86), для определения расхода наносов в расчетном створе, можно записать в виде

$$\rho_x = P_f [1 - \psi - K_H (1 - \alpha^{\eta}) (1 - e^{-\frac{t x}{\phi_f S}})] \quad (89)$$

Подставляя (89) в (88) и заменив $J_x = \frac{dy}{dx}$ после интегрирования, получим уравнение поверхности воды в размытом русле

$$y = J_f x - (J_f - J_o) \frac{K_H}{1 - \psi} (1 - \alpha^{\eta}) x - (J_f - J_o) \frac{K_H}{1 - \psi} \frac{\phi_f S}{t} e^{-\frac{t x}{\phi_f S}} + \frac{\phi_f S}{t} + \frac{K_H}{1 - \psi} (J_f - J_o) (1 - \alpha^{\eta}). \quad (90)$$

для определения снижения уровня воды имеем

$$\Delta H_o = (J_f - J_o) \frac{K_H}{1 - \psi} (1 - \alpha^{\eta}) x - \frac{\phi_f S}{t} \frac{K_H}{1 - \psi} (J_f - J_o) (1 - \alpha^{\eta}) (1 - e^{-\frac{t x}{\phi_f S}}). \quad (91)$$

Для определения длины распространения размыва S путем аналогичным выводу формуле (82), но выражая транспортирующую способность потока в нижнем бьефе через $(1 - \psi) t \phi_o$, получим формулу

$$S = \sqrt{N^2 + \frac{1}{B} 4 M \left\{ (1 - \psi) t \phi_o - \frac{T_f K_H}{\partial H} [P_f t - P_f (1 - \alpha^{\eta}) \phi_f (1 - e^{-\frac{t}{\phi_f}})] \right\}^2} - N \quad (92)$$

$$\text{где } N = 0,5 (H_p - H_f); \quad H_p = H_f \left(\frac{J_f}{J_p} \right)^{0,292};$$

$$M = \frac{(J_f - J_o) K_H (1 - \alpha^{\eta})}{1 - \psi} \left(\frac{\phi_f^2}{t^2} - \frac{1}{2} - \frac{\phi_f^2}{t^2} e^{-\frac{t}{\phi_f}} - \frac{\phi_f}{t} \right).$$

H_p, J_p - глубина и уклон водной поверхности в начальном створе размываемого участка.

Решая совместно (88) и (89) при $\chi = S$, имеем

$$J_p = [1 - \frac{K_H}{1 - \psi} (1 - \alpha^{\eta}) (1 - e^{-\frac{t}{\phi_f}})] (J_f - J_o) + J_o. \quad (93)$$

Наименьший размер камня, оставшегося несмытым к началу процесса засыпки нижнего бьефа можно определять по формуле

$$d_i = \frac{J_f}{J_p} \left\{ [1 - \frac{K_H}{1 - \psi} (1 - \alpha^{\eta}) (1 - e^{-\frac{t}{\phi_f}})] (J_f - J_o) + J_o \right\} \quad (94)$$

6.4. Сопоставление результатов расчета изменения уровенного режима по предлагаемому методу с данными натурных исследований

Рекомендуемый метод расчета общего размыва русла освещенным потоком разработан в общем виде и поэтому может быть рекомендован для расчета размыва каналов и русел рек. На рис. I.2 показано сравнение результатов расчета, выполненного по разработанной методике общего размыва освещенным потоком, с данными натурных и лабораторных исследований. Как следует из этого рисунка опытные данные хорошо подтверждают данные полученные расчетом.

Расчет продолжительности общего размыва с учетом наносов поступающих из верхнего бьефа, по разработанной нами методике, также производился применительно к условиям натурных гидроузлов. Результаты этих расчетов, приведенные в диссертации, хорошо подтвердились натурными данными.

ВЫВОДЫ И РЕКОМЕНДАЦИИ

I. Предложенный метод определения срока службы водохранилищ с разделением процесса засыпки на две стадии позволяет более точно прогнозировать аккумуляцию наносов и значительно упростить определение срока службы (продолжительность засыпки) водохранилищ, расчет засыпки которых должен производиться только по линейной

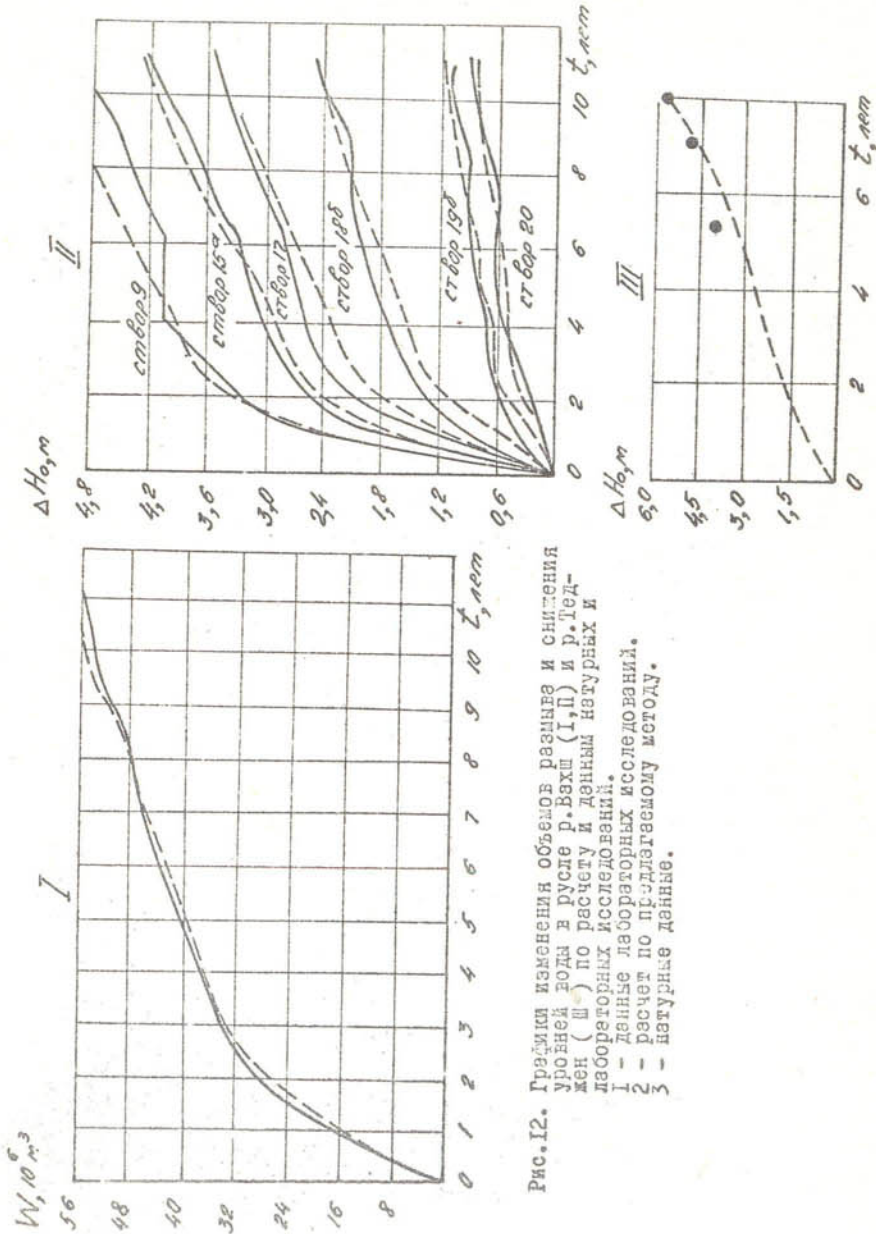


Рис. 12. Графики изменения объемов размножения и снижения уловней рыб в русле Р. Вахш (I, II) и Р. Геджен (III) по расчету и данным натурных и лабораторных исследований.

зависимости (9) соответствующей первой стадии заселения, определить условия применимости существующих методов.

Формулы (6) и (7) рекомендуемые для расчета второй стадии заселения, не требуют дополнительных громоздких вычислений по определению первоначальной степени освещения сбоя, которые необходимо делать при использовании существующих методов расчета.

Методы расчета заселения использующие показательные и экспоненциальные формулы справедливы только для расчета второй стадии заселения.

Известные в литературе кривые Броне (США), для расчета нано-соудержащей способности, построены только по данным натурных измерений заиления прудовых водоемов и поэтому не могут быть рекомендованы для расчета заиления водохранилищ.

2. Для расчета занесения верхних бьефов низконапорных гидроузлов получены формулы (18) и (19), которые учитывают неоднородность состава наносов и исключают громоздкие вычисления по определению начальной степени осветления, необходимые при применении существующих методов расчета.

В случае однородных наносов процесс занесения характеризуется полным их отложением в течение всего периода аккумуляции.

Существующие рекомендации основанные на данных лабораторных исследований с песчаными материалами, по составу близки к однородному, достаточно правильно отражают ход занесения бьёфов такими наносами.

3. Для увеличения срока службы водохранилищ относящихся к первой и второй схемам залывания целесообразно применять пониженный уровеньный режим эксплуатации, при котором мутная вода в начале половодья пропускается через водохранилище при уровне воды ниже НПУ, что обеспечивает высокие скорости течений и значительный транзит наносов в нижний бьеф.

Для водохранилищ засыпающихся согласно первой стадии (третья схема) целесообразнее уменьшать засыпание с помощью разработанного автором устройства по удалению наносов со дна водохранилища, которое использует для работы статический и эжекционный напоры.

Для борьбы с испарением из водохранилищ рекомендуется устрой-

ство позволяющее осуществлять сброс теплой воды поверхностных слоев аккумулируемого в водохранилище объема воды в нижний бьеф, тем самым понижая температуру воды на поверхности зеркала и уменьшая его испаряющую способность.

4. Для определения изменения площади затопления прибрежной территории связанного с отложением наносов в процессе эксплуатации гидроузлов разработаны методы расчета кривых подпора различно для водохранилищ и для верхних бьефов низконапорных гидроузлов.

Предлагаемый метод расчета кривых подпора в водохранилищах предусматривает разделение водохранилищ на озерную и русловую части.

К озерной части относится наиболее глубоководная часть части водохранилища с практически горизонтальной поверхностью. Русловая часть является более мелководной, в начальной части которой сосредотачивается осаждение наносов и где происходит формирование русла вызывающее соответствующее увеличение уклонов водной поверхности и повышение уровня воды приводящее к удлинению кривой подпора вверх по течению. Одновременно гряда наносных отложений постепенно распространяется в сторону плотины, уменьшая размеры озерной части водохранилища и увеличивая размеры русловой его части.

Для расчета кривых свободной поверхности в зоне подпора заносимых бьефов получена формула (32), показатель степени которой γ зависит от фракционного состава наносов. При $\gamma = 1$ формула (32) переходит в уравнение квадратичной параболы, которое ранее принимали для описания кривой подпора С.Т.Алтунина и И.А.Бузунова.

5. При оценке устойчивости русла в несвязанных грунтах необходимо выделять продольную (гидравлическую) и поперечную устойчивость, рассматривая их различно, а также и во взаимосвязи, которая определяет плановую устойчивость.

Для оценки продольной устойчивости, выражющей неизменность планового положения динамической оси, прямолинейного или криволинейного потока, целесообразно использовать параметр шильдса, численная величина которого зависит от вида устойчивости и может принимать значения согласно приведенным ранее рекомендациям

составленным по натурным и лабораторным данным.

Различная степень продольной устойчивости потока определяет характер движения наносов и их количество, положение потока и русла в плане, степень воздействия потока на дно и берега русла и в целом характеризует соответствующий режим эксплуатации. Для мелиоративных каналов целесообразно различать следующие режимы эксплуатации: статический, квазидинамический, динамически устойчивый, неустойчивый. Каждый из них дополнительно характеризуется состоянием русла и наносов и численным значением параметра φ .

Для оценки поперечной устойчивости русла, понимаемой как отсутствие поперечного расширения сечения, принято условие устойчивой ширины по урезу воды, определяемое формулой А.В.Троицкого, которая после некоторых преобразований и определения коэффициента пропорциональности по данным натурных исследований приведена к выражению учитывающим взаимосвязь поперечной устойчивости с режимом эксплуатации каналов.

6. Полученные по данным натурных исследований формулы (39) и (40) позволяют определять значения коэффициента шероховатости для каждого принимаемого режима эксплуатации, что устраивает имевшую место ранее неопределенность когда значения этого коэффициента выбирались исходя из словесной характеристики смоченной поверхности и ее состояния.

7. В результате проведенных исследований разработан принципиально новый метод расчета устойчивых русел каналов в несвязанных, связанных и гравелисто-галечниковых грунтах, который в отличие от существующих методов позволяет определять гидравлические элементы сечений из ожидаемых или принимаемых режимов эксплуатации.

Главным фактором, определяющим изменение параметра формы русла B/H от водности потока является параметр φ характеризующий режим эксплуатации. Существующие формулы морфометрии приводящие зависимости параметра формы русел от расхода воды, получены обработкой натурных и лабораторных данных соответствующих сечениям русла с различной степенью его устойчивости, изменяющейся в зависимости от водности потока.

8. Для моделирования крупных каналов в несвязанных грунтах разработан новый метод расчета масштабных множителей, в основу которого положены условия:

- а) геометрическое подобие сечений модели и натуры;
- б) равенства на модели и в натуре параметра продольной устойчивости.

9. Для расчета общего размыва русел рек и каналов сложенных из мелкопесчаных грунтов освещенным потоком, поступающим из водохранилищ можно использовать формулы (59) и (61), которые позволяют спределить снижение уровня воды в расчетных створах и длину распространения размыва.

10. Расчет общего размыва канала после начала поступления донных наносов из верхнего бьефа можно производить по формулам (75), (79) и (82) позволяющим определить предельное время размыва, снижения уровня воды и длину распространения размыва до момента начала занесения русла сбрасываемыми наносами. Расчет размыва русла в нижнем бьефе гидроузлов выполняется по формулам (87), (91) и (94).

Для определения наименьшего диаметра камня, остающегося не смытым в начале размыва в процессе деформации русла, можно использовать формулу (95) позволяющую установить возможность об разования самоотмостки дна до начала занесения русла.

II. Проверка основных положений рекомендуемых методов произведенная путем сравнения результатов расчета с данными натурных и лабораторных исследований, показала их высокую надежность.

12. Рекомендуемые методы расчета использованы при проектировании целого ряда объектов, что дало ежегодный экономический эффект порядка 6,5 млн руб.

ОСНОВНОЕ СОДЕРЖАНИЕ ДИССЕРТАЦИИ ИЗЛОЖЕНО
В СЛЕДУЮЩИХ ОПУБЛИКОВАННЫХ РАБОТАХ АВТОРА

1. Скрыльников В.А. Расчет продолжительности залегания подпрудных бьефов и водохранилищ. Известия АН УзССР, серия техн.наук, № 3, 1966, с. 52-58.
2. Скрыльников В.А. Расчет общего размыва русла в мелкопесчаных грунтах. Известия АН УзССР, серия техн.наук, № 2, 1965, с.64-75.
3. Скрыльников В.А. К вопросу расчета общего размыва русла в мелкопесчаных грунтах. Труды САНИИРИ, вып. II7, 1968, с.140-145.
4. Скрыльников В.А. Прогноз общего размыва в нижнем бьефе низконапорных гидроузлов. Труды САНИИРИ, вып.II7, 1968, с.146-159.
5. Скрыльников В.А. Расчет продолжительности занесения верхних бьефов низконапорных гидроузлов. Известия АН УзССР, серия техн. наук № I, 1970, с.50-55.
6. Скрыльников В.А., Пулатов А.Г. О расчете продолжительности занесения верхних бьефов низконапорных гидроузлов. Известия АН УзССР, серия техн.наук, № 4, 1976, с.51-55.
7. Скрыльников В.А., Пулатов А.Г. Расчет кривой подпора в процессе занесения верхнего бьефа низконапорных гидроузлов. Труды САНИИРИ, вып.I5I, Ташкент, 1976, с.67-71.
8. Скрыльников В.А., Пулатов А.Г. О расчете кривой подпора в верхнем бьефе низконапорных гидроузлов. Известия АН УзССР, серия техн.наук, № 6, 1976, с.45-47.
9. Скрыльников В.А., Губина Т.Ю. Расчет устойчивых гидравлических элементов больших каналов в несвязанных грунтах. Известия АН УзССР, серия техн.наук, № 3, с.52-59.
10. Скрыльников В.А., Губина Т.Ю. К вопросу расчета устойчивых сечений крупных каналов в мелкопесчаных грунтах. Известия АН УзССР, серия техн.наук, № I, 1980, с.61-67.
- II. Скрыльников В.А., Локтионов А.Г. Расчет продолжительности размыва русла в нижнем бьефе низконапорных гидроузлов с учетом наносов поступающих из верхнего бьефа. Известия АН УзССР, серия техн.наук, № 4, с. 43-46.

12. Скрыльников В.А., Локтионов А.Г. Расчет деформации русла в нижнем бьефе низконапорных гидроузлов. Труды САНИИРИ, выпуск к 80-летию со дня рождения С.Т.Алтунина, Ташкент, 1984, с.67-72.
13. Скрыльников В.А. Некоторые закономерности процесса занесения верхних бьефов низконапорных гидроузлов. Труды САНИИРИ, вып. 120, Ташкент, 1970, с.231-248.
14. Скрыльников В.А. Некоторые закономерности процесса засыпания верхних бьефов гидроузлов. Сборник научных трудов САНИИРИ, вып.152, Ташкент, 1977, с.68-73.
15. Скрыльников В.А. Расчет гидравлических элементов устойчивых сечений крупных каналов в мелкопесчаных грунтах "Гидротехническое строительство", № 2, 1983, с.32-34.
16. Скрыльников В.А. Расчет коэффициента шероховатости русел рек в несвязанных грунтах "Гидротехника и мелиорация", № 2, 1983, с. 35-38.
17. Скрыльников В.А., Кожевникова М.С. Пособие к ВСН-П-14-76. Расчет засыпания подвергнутых бьефов гидроузлов и водохранилищ. Изд.САНИИРИ, Ташкент, 1984, с.51.
18. Скрыльников В.А., Локтионов А.Г. Пособие к ВСН-П-14-76. Расчет деформации русла в нижнем бьефе низконапорных гидроузлов. Изд.САНИИРИ. Ташкент, 1984, с.16.
19. Скрыльников В.А. Определение устойчивых значений параметра формы русла при расчетах гидравлических элементов каналов в несвязанных грунтах. Труды САНИИРИ, вып. к 80-летию со дня рождения С.Т.Алтунина. Ташкент, 1984, с. 148-155.
20. Скрыльников В.А., Пулатов А.Г. Временные методические указания по расчету занесения верхних бьефов низконапорных гидроузлов. Изд.САНИИРИ, Ташкент, 1981, с.33.

В.М.Григорьев

Р-05285. Подписано в печать 19.02.87
Формат 60x84 1/16. Объем 2,35 уч. изд.л.
Тираж 150 экз. Заказ 75

Отпечатано на ротопринте САНИИРИ
г.Ташкент, ул.Я.Колеса, 24